Studio di sistemi dinamici tramite FdT

Risposta transitoria e risposta a regime

Alcune definizioni e richiami

- Consideriamo un sistema LTI, a tempo continuo oppure a tempo discreto, asintoticamente stabile (as. s.) (cfr. Parte 3, 4 e 6) e supponiamo che il sistema si trovi inizialmente nello stato nullo (condizioni iniziali nulle).
- Se si applica ora al sistema un **ingresso qualsiasi** (anche non limitato), che cosa si può dire dell'evoluzione dell'uscita del sistema in risposta a tale sollecitazione in ingresso?
- Cominciamo analizzando il caso dei sistemi a tempo continuo.
 Nel caso di sistemi a tempo discreto si potranno fare considerazioni analoghe.

Sistema a tempo continuo as. s. : risposta transitoria e risposta a regime

• Consideriamo un sistema a tempo continuo as. s. completamente descritto dalla funzione di trasferimento

$$G(s) = \frac{N(s)}{D(s)}$$

(cioè **non ci sono cancellazioni**) ed applichiamo al sistema un ingresso qualsiasi (anche non limitato) u(t) [ma che ammetta trasformata di Laplace razionale].

 Per la risposta (ancora in termini di trasformata di Laplace) vale che

$$Y(s) = \frac{N(s)}{D(s)} \cdot U(s)$$

 Ora, mettendo in evidenza nella scomposizione "in fratti semplici" della trasformata di Laplace della risposta Y(s) i termini associati a poli asintoticamente stabili, semplicemente stabili ed instabili si ottiene

$$y(t) = \mathcal{L}^{-1} \left[\sum_{i=1}^{n_{a.s.}} \frac{P_i}{s - p_i} \right] + \dots \quad \text{Contributo alla risposta dei poli as. stabili.}$$

$$+ \mathcal{L}^{-1} \left[\sum_{j=1}^{n_{s.s.}} \frac{Q_j}{s - p_j} \right] + \dots$$

$$\text{Contributo alla risposta dei poli sempl. stabili.}$$

$$+ \mathcal{L}^{-1} \left[\sum_{k=1}^{n_{inst.}} \frac{R_k}{s - p_k} \right] \quad \text{Contributo alla risposta dei poli instabili.}$$

- Il contributo alla risposta dovuto ai termini associati ai poli a parte reale negativa è un contributo che svanisce a tempo lungo, poiché tende a zero al crescere del tempo:
 - Risposta transitoria

$$y_{\text{trans.}}(t) = \mathcal{L}^{-1} \left[\sum_{i=1}^{n_{a.s.}} \frac{P_i}{s - p_i} \right] \xrightarrow[t \to \infty]{} 0$$

- I contributi alla risposta dovuti ai termini associati ai poli sempl. stabili oppure instabili (sono termini da imputare al segnale d'ingresso) certamente non tendono a zero al crescere del tempo: in realtà man mano che il tempo passa la risposta diviene sempre più simile a quella ottenibile dai soli contributi considerati
 - Risposta a regime permanente

$$y_{\text{reg.}}(t) = \mathcal{L}^{-1} \left[\sum_{j=1}^{n_{s.s.}} \frac{Q_j}{s - p_j} \right] + \mathcal{L}^{-1} \left[\sum_{k=1}^{n_{inst.}} \frac{R_k}{s - p_k} \right]$$

Un esempio

• Si applica al sistema $G(s) = \frac{2(s+1)}{(s+2)(s+10)}$

in condizioni iniziali nulle, l'ingresso

$$u(t) = 4t \cdot 1(t)$$

• Espressa tramite la trasformata di Laplace, la risposta del sistema è data dall'espressione (si tratta della risposta forzata del sistema [cfr. Parte 2, slide 53-54]):

$$Y(s) = \frac{2(s+1)}{(s+2)(s+10)} \cdot \frac{4}{s^2}$$

- In base a quanto visto finora, nella risposta del sistema sono identificabili le parti:
 - Risposta transitoria $Y_{\text{trans.}}(s) = -\frac{1}{4} \cdot \frac{1}{s+2} + \frac{9}{100} \cdot \frac{1}{s+10}$

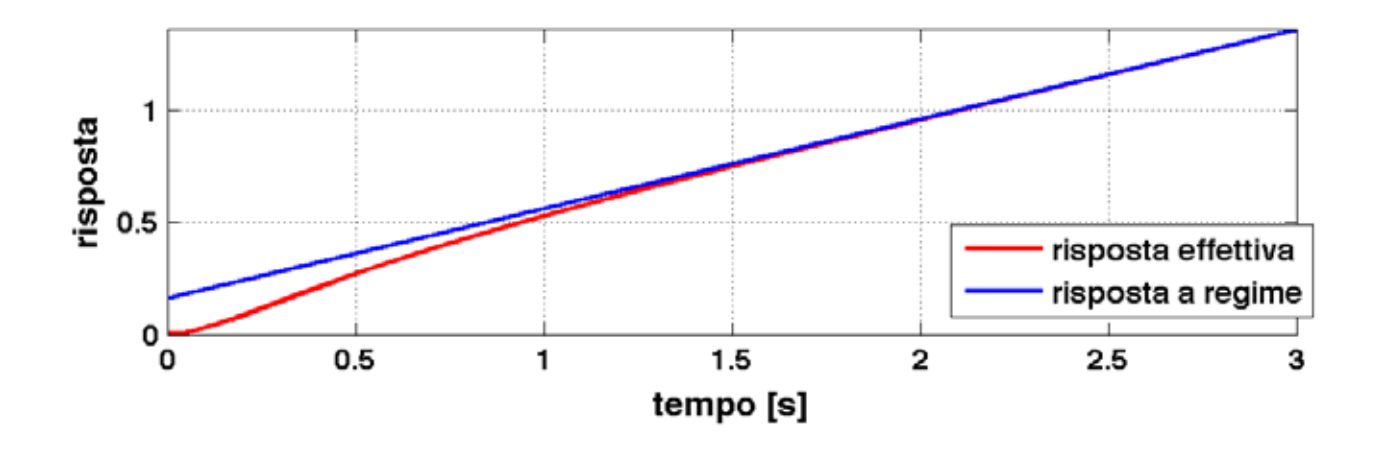
$$y_{\text{trans.}}(t) = \left[-\frac{1}{4}e^{-2t} + \frac{9}{100}e^{-10t} \right] \cdot 1(t)$$

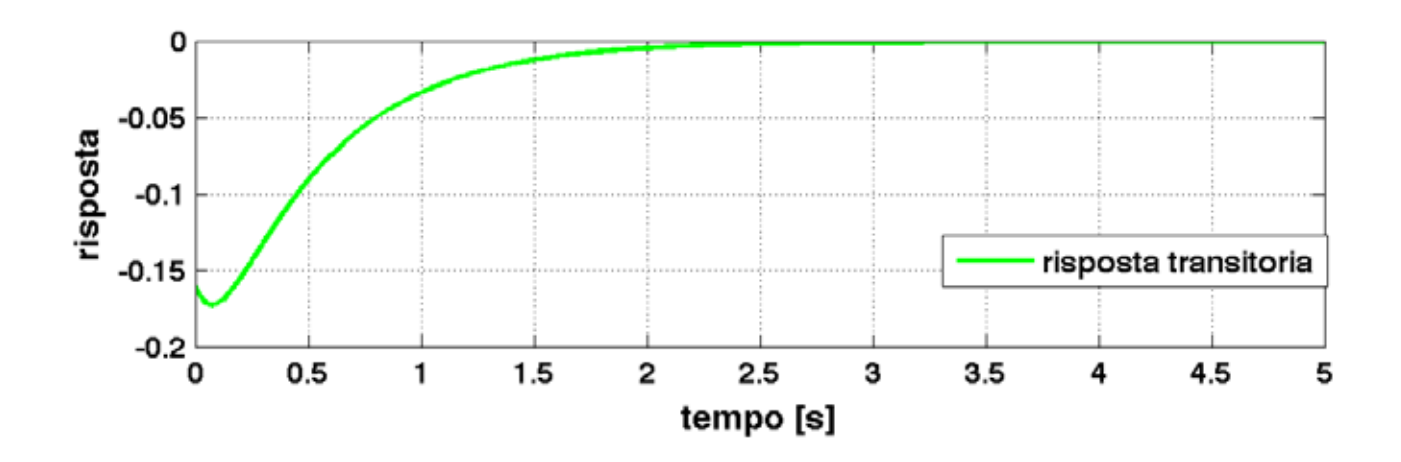
Risposta a regime permanente

$$Y_{\text{reg.}}(s) = \frac{4}{25} \cdot \frac{1}{s} + \frac{2}{5} \cdot \frac{1}{s^2}$$

$$y_{\text{reg.}}(t) = \left[\frac{4}{25} + \frac{2}{5}t\right] \cdot 1(t)$$

• Graficamente l'evoluzione della risposta è





Sistema a tempo discreto as. s. : risposta transitoria e risposta a regime

• Consideriamo ora invece un sistema a tempo discreto, as. s. completamente descritto dalla funzione di trasferimento

$$G(z) = \frac{N(z)}{D(z)}$$

(cioè **non ci sono cancellazioni**) ed applichiamo al sistema un ingresso qualsiasi (anche non limitato) u(k) [ma che ammetta Z-trasformata razionale].

Per la risposta (espressa in termini di Z-trasformata) vale che

$$Y(z) = \frac{N(z)}{D(z)} \cdot U(z)$$

- Valgono considerazioni analoghe a quelle fatte per il caso a tempo continuo.
- Mettendo in evidenza nella scomposizione "in fratti semplici" i termini associati a poli asintoticamente stabili, semplicemente stabili ed instabili si ottiene

$$y(k) = \mathcal{Z}^{-1} \left[\sum_{i=1}^{n_{a.s.}} \frac{P_i \, z}{z - p_i} \right] + \dots \quad \text{Contributo alla risposta dei poli as. stabili.}$$

$$+ \mathcal{Z}^{-1} \left[\sum_{j=1}^{n_{s.s.}} \frac{Q_j \, z}{z - p_j} \right] + \dots$$
 Contributo alla risposta dei poli sempl. stabili.
$$+ \mathcal{Z}^{-1} \left[\sum_{l=1}^{n_{inst.}} \frac{R_l \, z}{z - p_l} \right] \quad \text{Contributo alla risposta dei poli instabili.}$$

- Il contributo alla risposta dovuto ai termini associati ai poli a modulo inferiore all' unità è un contributo che svanisce a tempo lungo, poiché tende a zero al crescere del tempo:
 - Risposta transitoria

$$y_{\text{trans.}}(k) = \mathcal{Z}^{-1} \left[\sum_{i=1}^{n_{a.s.}} \frac{P_i z}{z - p_i} \right] \xrightarrow[k \to \infty]{} 0$$

- I contributi alla risposta dovuti ai termini associati ai poli sempl. stabili oppure instabili (sono termini da imputare al segnale d'ingresso) certamente non tendono a zero al crescere del tempo: in realtà man mano che il tempo passa la risposta diviene sempre più simile a quella ottenibile dai soli contributi considerati
 - Risposta a regime permanente

$$y_{\text{reg.}}(k) = \mathcal{Z}^{-1} \left[\sum_{j=1}^{n_{s.s.}} \frac{Q_j z}{z - p_j} \right] + \mathcal{Z}^{-1} \left[\sum_{k=1}^{n_{inst.}} \frac{R_k z}{z - p_k} \right]$$

Riassumendo: sistemi LTI as. s. a tempo continuo ed a tempo discreto

- La risposta in regime permanente è soltanto una situazione asintotica, alla quale la risposta effettiva converge al crescere del tempo.
- La differenza tra risposta effettiva e risposta in regime permanente viene chiamata **risposta in regime transitorio** (o **risposta transitoria**). Quest' ultima tende effettivamente a zero al crescere del tempo.

Studio dei sistemi dinamici tramite FdT

Risposta in frequenza per sistemi LTI a tempo continuo

- Risposta alla sinusoide

$$x(0) = 0$$
$$u(t) = A\sin(\omega t)\mathbf{1}(t)$$

$$\begin{array}{c|c}
u(t) & y(t) \\
\hline
G(s) & \end{array}$$

$$U(s) = \frac{A\omega}{s^2 + \omega^2}$$

$$G(s) = \frac{\mu}{s^g} \frac{\prod\limits_{i=1}^m (1+sT_i)}{\prod\limits_{i=1}^n (1+s\tau_i)}$$
 Hp: as. stabilita`

$$Y(s) = G(s) \frac{A\omega}{s^2 + \omega^2} = G(s) \frac{A\omega}{(s - j\omega)(s + j\omega)}$$

Supponiamo per semplicita` che tutti i poli siano reali distinti

$$Y(s) = \frac{\alpha_1}{1 + s\tau_1} + \frac{\alpha_2}{1 + s\tau_2} + \dots + \frac{\alpha_n}{1 + s\tau_n} + \frac{\beta s + \gamma}{s^2 + \omega^2}$$

$$Y_1(s) \qquad Y_2(s)$$

$$Y_2(s)$$

$$Y_1(s) \qquad Y_2(s)$$

$$Y_2(s) \qquad Y_2(s)$$

$$t \to \infty \qquad \text{(as. stabilita')}$$

$$0$$

$$Y_1(s) \qquad Y_2(s)$$

$$Y_2(s) \qquad Y_2(s)$$

- Calcolo di $y_2(t)$

$$Y(s) = G(s) \frac{A\omega}{s^2 + \omega^2} = G(s) \frac{A\omega}{(s - j\omega)(s + j\omega)}$$

$$\mathcal{L}^{-1}$$
 $y(t) \simeq y_2(t) = k_1 e^{j\omega t} + k_2 e^{-j\omega t}$ $t \ge 0$

$$k_1 = G(s) \frac{A\omega}{s + j\omega} \Big|_{s=j\omega} = \frac{A}{2j} G(j\omega)$$

$$k_2 = G(s) \frac{A\omega}{s - j\omega} \Big|_{s = -j\omega} = -\frac{A}{2j} G(-j\omega)$$

- Si dimostra che $G(s^*) = G^*(s)$ \longrightarrow $G(j\omega) = G^*(-j\omega)$
- Scriviamo ora i numeri complessi $G(j\omega), G^*(-j\omega)$ in termini di modulo ed argomento, cioe`:

$$G(j\omega)=|G(j\omega)|e^{j\varphi(\omega)}$$
 dove $\varphi(\omega):=\arg G(j\omega)$
$$G(-j\omega)=G^*(j\omega)=|G(j\omega)|e^{-j\varphi(\omega)}$$

$$y(t) \simeq y_2(t) = A|G(j\omega)| \frac{e^{j\omega t} \cdot e^{j\varphi(\omega)} - e^{-j\omega t} \cdot e^{-j\varphi(\omega)}}{2j}$$

$$= A|G(j\omega)| \frac{e^{j(\omega t + \varphi(\omega))} - e^{-j(\omega t + \varphi(\omega))}}{2j}$$

$$= A \cdot |G(j\omega)| \sin[\omega t + \varphi(\omega)], \ t \ge 0$$

- Teorema Risposta in Frequenza (AS. STAB.)

$$u(t) = A\sin(\omega t)\mathbf{1}(t) \qquad \qquad \frac{u(t)}{-} \qquad \qquad G(s) \qquad \frac{y(t)}{-}$$

A transitorio esaurito (in pratica per $\,t>t_a\,$)

$$y(t) \simeq B \sin(\omega t + \varphi)$$

Stessa pulsazione sinusoide in ingresso!

dove
$$B = |G(j\omega)| \cdot A$$

$$\varphi = \arg G(j\omega)$$

- Definizione Risposta in Frequenza

$$G(j\omega)\,, \quad \omega \geq 0 \quad$$
 funzione complessa di variabile reale

- Esempio 1

$$G(s) = \frac{1}{1+s} \qquad u(t) = 10\sin(2t)1(t)$$

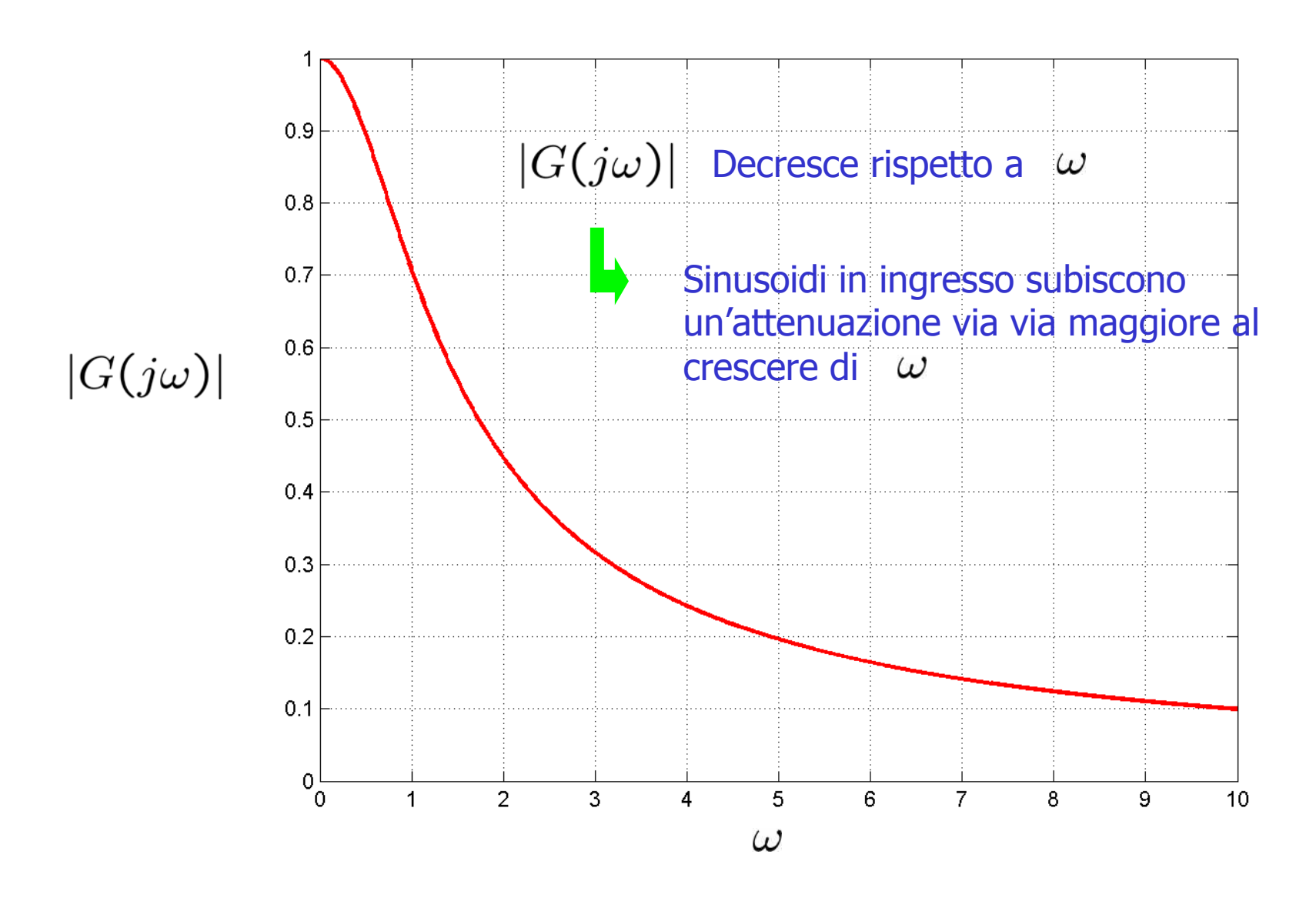
$$A = 10; \ \omega = 2 \text{rad}/s$$

$$G(j2) = \frac{1}{1+2j} = \frac{1-2j}{(1-2j)(1+2j)} = \frac{1-2j}{5} = \frac{1}{5}-j\frac{2}{5}$$

$$|G(j2)| = \sqrt{\frac{1}{25} + \frac{4}{25}} = \frac{1}{\sqrt{5}} \simeq 0.447$$

$$\arg G(j2) = \arctan(-2) = -63^{\circ} = -63^{\circ} \frac{\pi}{180} \simeq -1.1$$

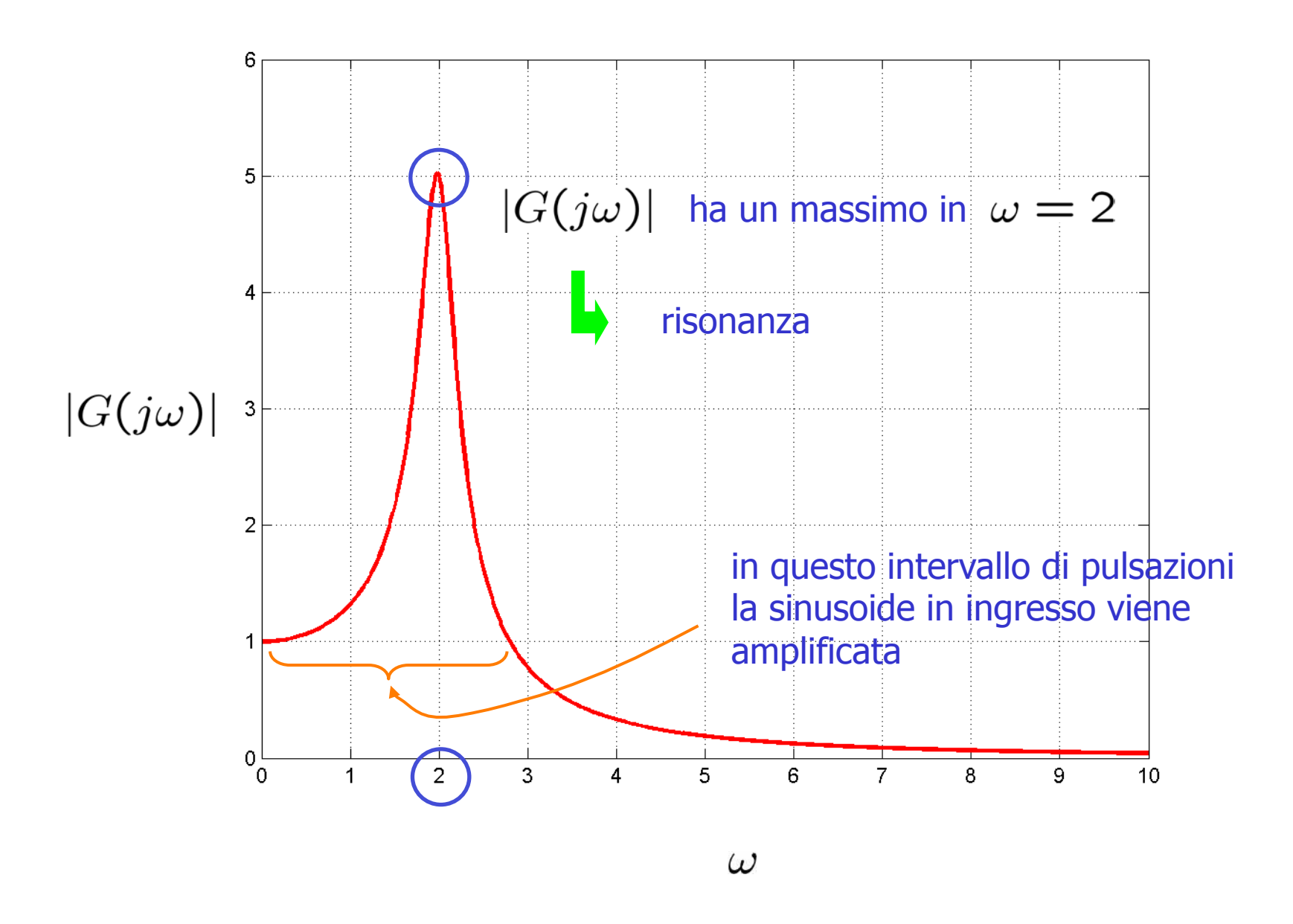
$$y(t)\simeq rac{10}{\sqrt{5}}\sin(2t-1.1)\,,\,\,t>t_a\simeq 5$$



- Esempio 2

$$G(s) = \frac{1}{1 + 0.1s + \frac{s^2}{4}}$$

$$|G(j\omega)| = \frac{1}{\left|1 + j0.1\omega + \frac{(j\omega)^2}{4}\right|} = \frac{1}{\sqrt{\left(1 - \frac{\omega^2}{4}\right)^2 + 0.01\omega^2}}$$



Prof. Thomas Parisini

- Estensioni del Teorema Risposta in Frequenza

- ullet u(t) multi-sinusoidale
- u(t) periodico
- u(t) "generico"

- Ingresso multi-sinusoidale

$$u(t) = \sum_{k=1}^{N} c_k \sin(\omega_k t + \gamma_k)$$

Sovrapposizione effetti + teo. risposta in frequenza

(a transitorio esaurito)

$$y(t) = \sum_{k=1}^{N} c_k |G(j\omega_k)| \sin[\omega_k t + \gamma_k + \arg G(j\omega_k)]$$

$$t \ge 0$$

- Ingresso periodico di periodo $\ T$

$$u(t) = c_0 + \sum_{k=1}^{\infty} c_k \sin(k\omega_0 t + \gamma_k), \quad \omega_0 = \frac{2\pi}{T}$$

Sovrapposizione effetti + teo. risposta in frequenza

(a transitorio esaurito)



$$y(t) = G(0)c_0 + \sum_{k=1}^{\infty} c_k |G(jk\omega_0)| \sin[k\omega_0 t + \gamma_k + \arg G(jk\omega_0)]$$

$$t > 0$$

- Ingresso "generico"

Sotto ipotesi blande si puo` scrivere

Integrale di Fourier

$$u(t) = \int_0^\infty C(\omega) \sin[\omega t + \gamma(\omega)] d\omega$$
 Spettro di ampiezza Spettro di fase

Sovrapposizione effetti + teo. risposta in frequenza

(a transitorio esaurito)

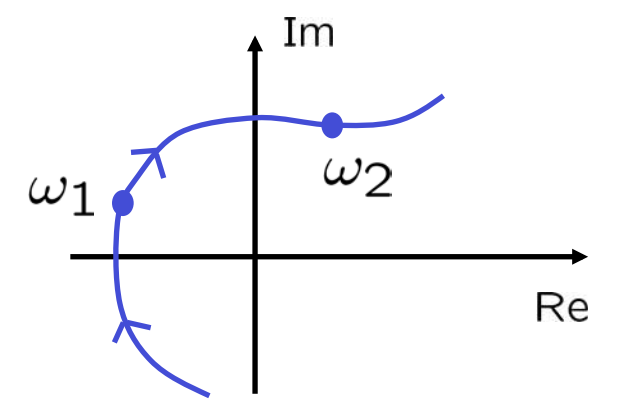
$$y(t) = \int_0^\infty C(\omega) |G(j\omega)| \sin[\omega t + \gamma(\omega) + \arg G(j\omega)] d\omega$$

$$C'(\omega) \qquad t \ge 0$$

- Rappresentazioni grafiche della r.i.f.

Diagramma polare

$$G(j\omega)$$
, $\omega \geq 0$

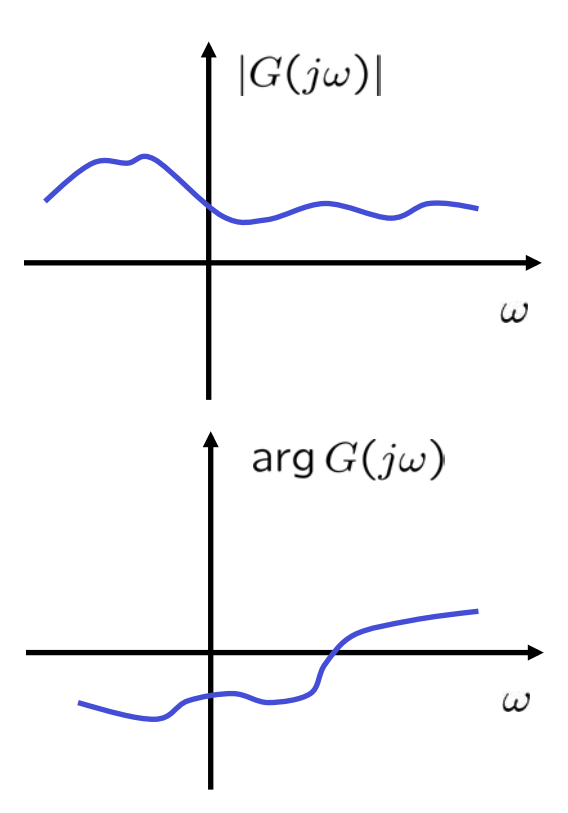


Diagrammi di Bode

$$|G(j\omega)|, \quad \omega \geq 0$$

$$\arg G(j\omega)$$
, $\omega \geq 0$

$$G(j\omega) = |G(j\omega)|e^{j\varphi(\omega)}$$



- Diagrammi di Bode: convenzioni

Modulo

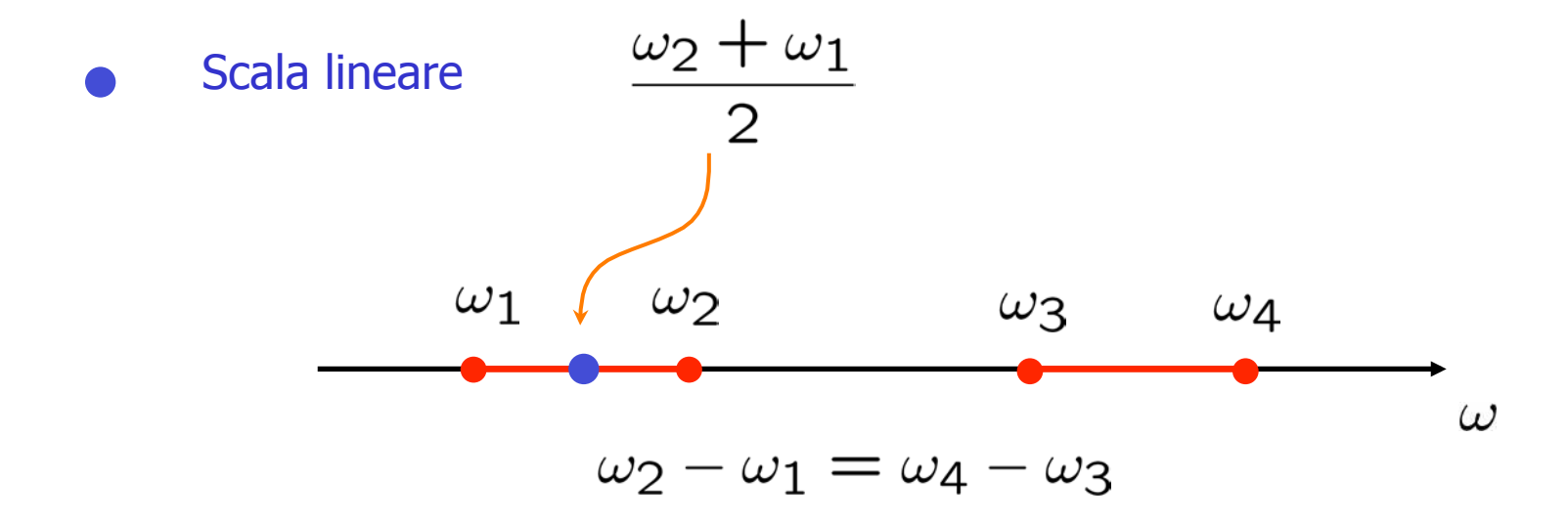
- ascisse: $\log \omega$

- ordinate: $|G(j\omega)|_{dB}$ $(x_{dB} := 20 \log x)$

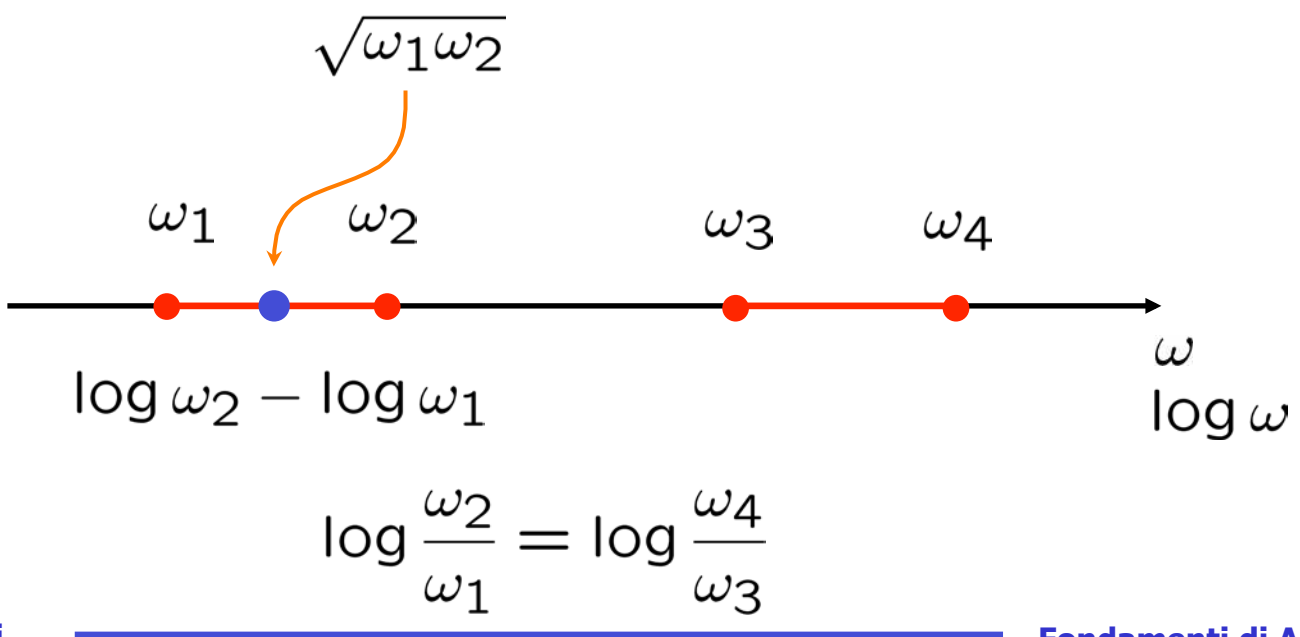
Fase

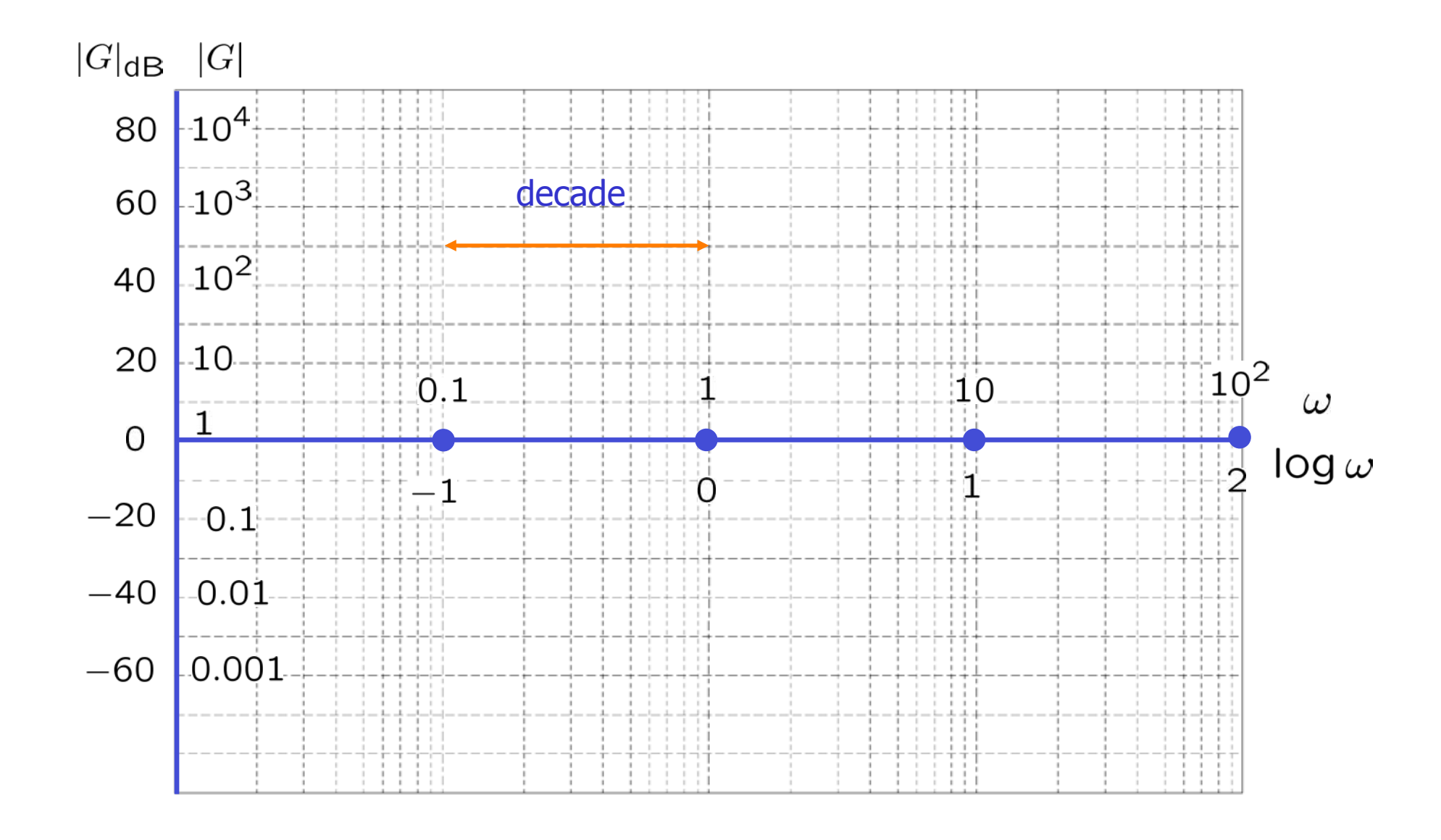
- ascisse: $\log \omega$

- ordinate: $\arg G(j\omega)$ in gradi



Scala logaritmica





- Diagrammi di Bode: Modulo

$$G(s) = \frac{\mu}{s^g} \frac{\prod_{i=1}^m (1 + sT_i)}{\prod_{i=1}^n (1 + s\tau_i)}$$

$$|G(j\omega)| = \frac{|\mu|}{|j\omega|^g} \frac{\displaystyle\prod_{i=1}^m |1+j\omega T_i|}{\displaystyle\prod_{i=1}^n |1+j\omega \tau_i|}$$

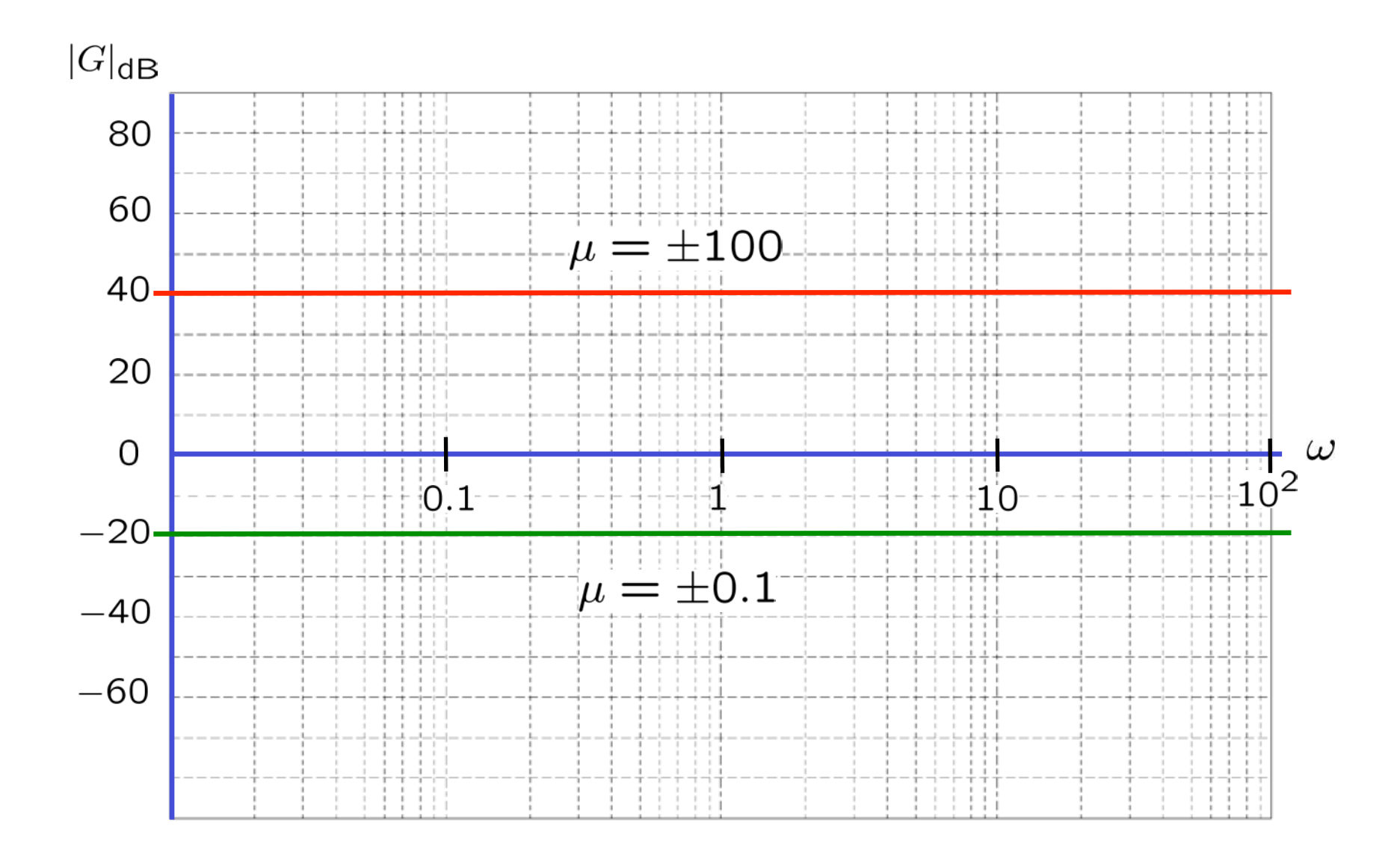
$$|G(j\omega)|_{\text{dB}} = 20 \log |\mu|$$

$$-20 \log |j\omega|^g$$

$$+ \sum_{i} 20 \log |1+j\omega T_i|$$

$$-\sum_{i} 20 \log |1+j\omega \tau_i|$$
(C),(D)

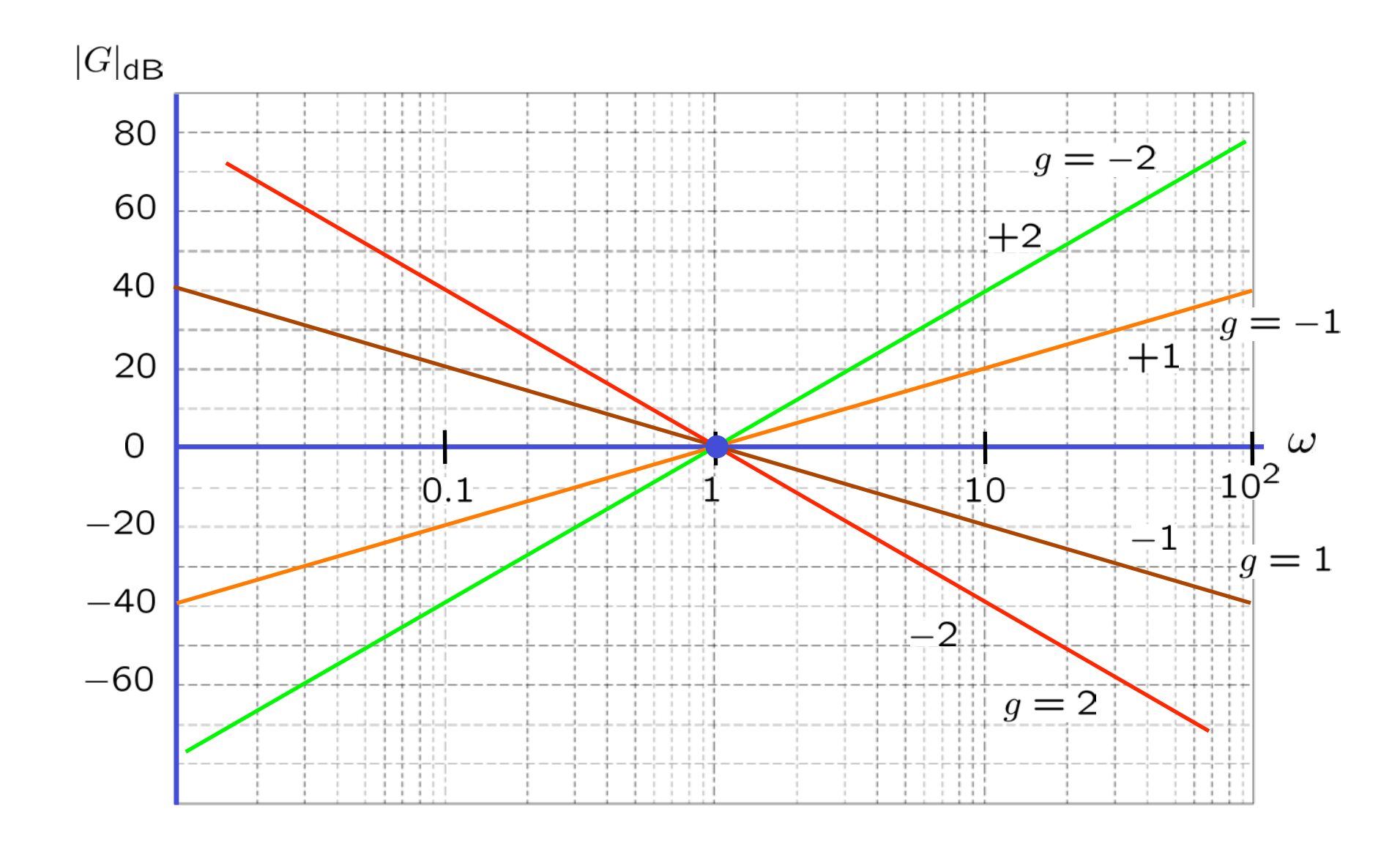
(A) $20 \log |\mu|$ retta costante



$$-20\log|j\omega|^g = -20g\log\omega$$

Per convenzione:

retta con pendenza [-20 g dB/decade] passante per 0 dB in $\,\omega=1\,$

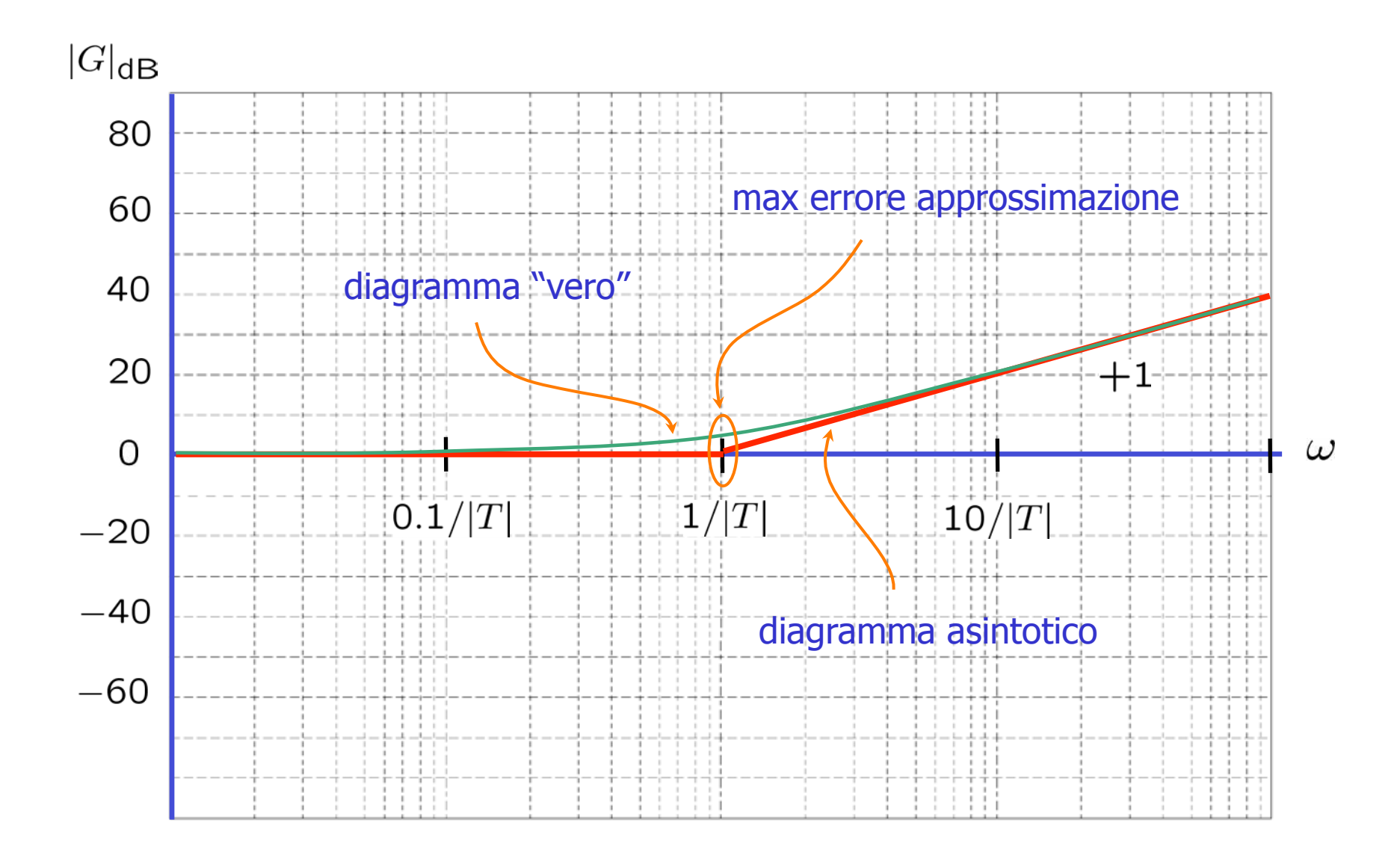


(C)
$$\left[20\log|1+j\omega T|\right]$$

$$-$$
Caso T ∈ \Re

$$20 \log |1 + j\omega T| = 20 \log \sqrt{1 + \omega^2 T^2}$$

- Se $\omega^2 T^2 << 1$ ovvero $\omega << \frac{1}{|T|}$
 - $20 \log |1 + j\omega T| \simeq 0$
- Se $\omega^2 T^2 >> 1$ ovvero $\omega >> \frac{1}{|T|}$
 - $20 \log |1 + j\omega T| \simeq 20 \log |j\omega T|$ $= 20 \log \omega |T|$ $= 20 \log \omega + 20 \log |T|$ x



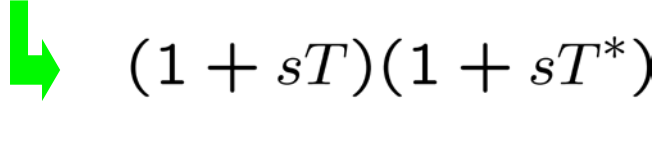
Errore di approssimazione in
$$\omega = \frac{1}{|T|}$$



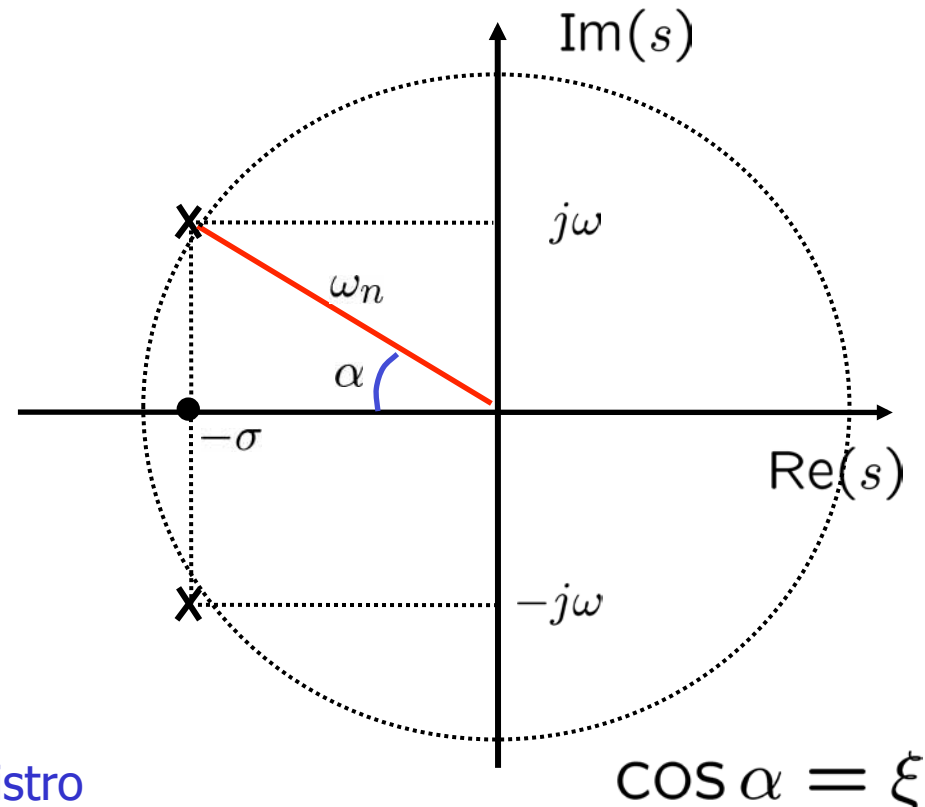
$$20 \log \sqrt{2} = 10 \log 2 \simeq 3 dB$$

(D)
$$20 \log |1 + j\omega T| + 20 \log |1 + j\omega T^*|$$

$$-\mathsf{Caso}\ T \in \mathcal{C}$$



$$=1+\frac{2\xi}{\omega_n}s+\frac{1}{\omega_n^2}s^2$$



$$0<\xi<1$$
 semipiano sinistro

$$-1 < \xi < 0$$
 semipiano destro

$$20 \log |1 + j\omega T| + 20 \log |1 + j\omega T^*|$$

$$= 20 \log \left| 1 + \frac{2\xi}{\omega_n} j\omega - \frac{1}{\omega_n^2} \omega^2 \right| = 20 \log \sqrt{\left(1 - \frac{\omega^2}{\omega_n^2} \right)^2 + \frac{4\xi^2 \omega^2}{\omega_n^2}}$$

Se
$$\omega \to 0$$

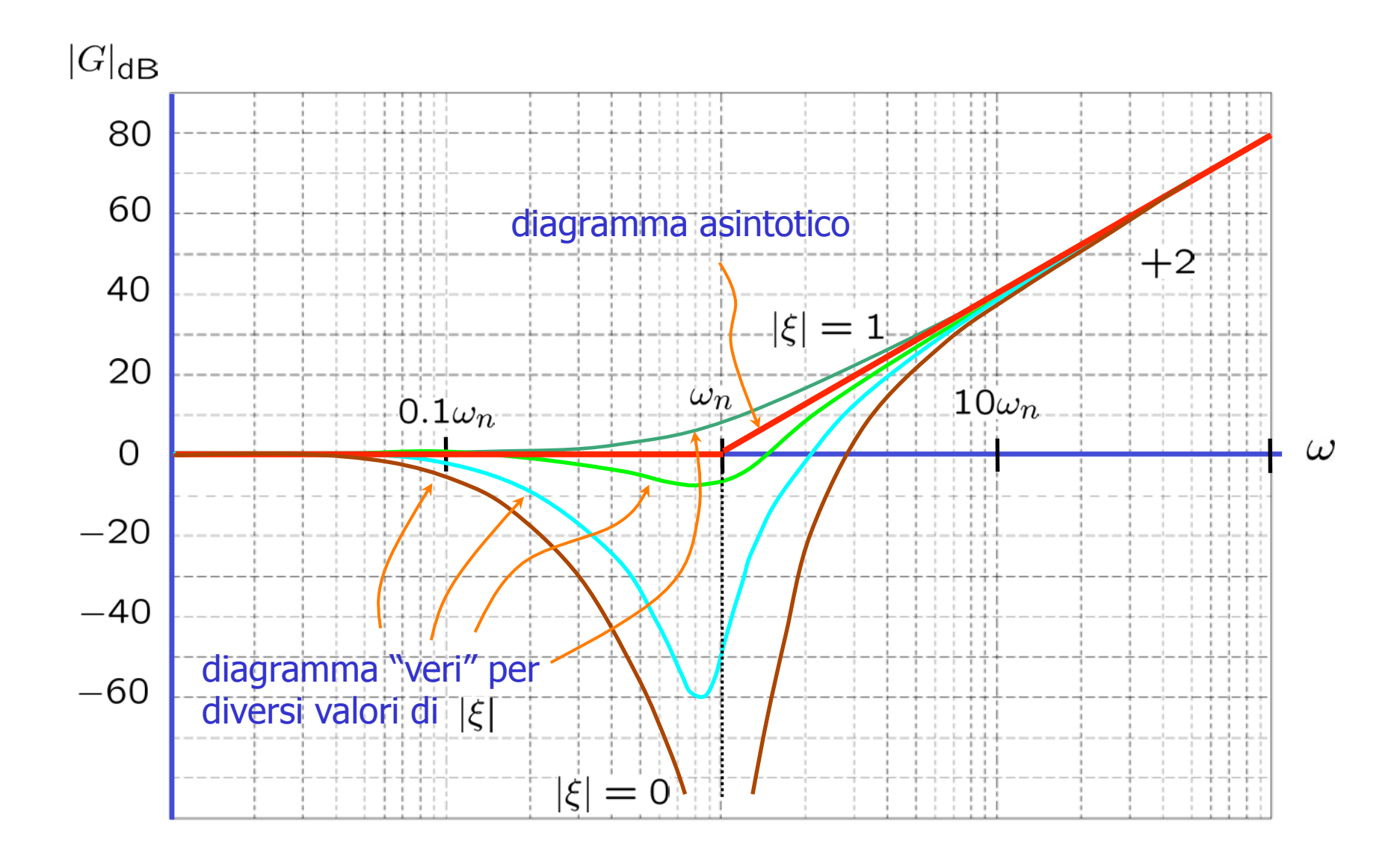
$$20 \log \sqrt{\left(1 - \frac{\omega^2}{\omega_n^2}\right)^2 + \frac{4\xi^2 \omega^2}{\omega_n^2}} \simeq 0$$

• Se
$$\omega \to \infty$$

$$20 \log \sqrt{\left(1 - \frac{\omega^2}{\omega_n^2}\right)^2 + \frac{4\xi^2 \omega^2}{\omega_n^2}}$$

$$\simeq 20 \log \sqrt{\left(\frac{\omega^2}{\omega_n^2}\right)^2} = 20 \log \frac{\omega^2}{\omega_n^2} = 40 \log \frac{\omega}{\omega_n}$$

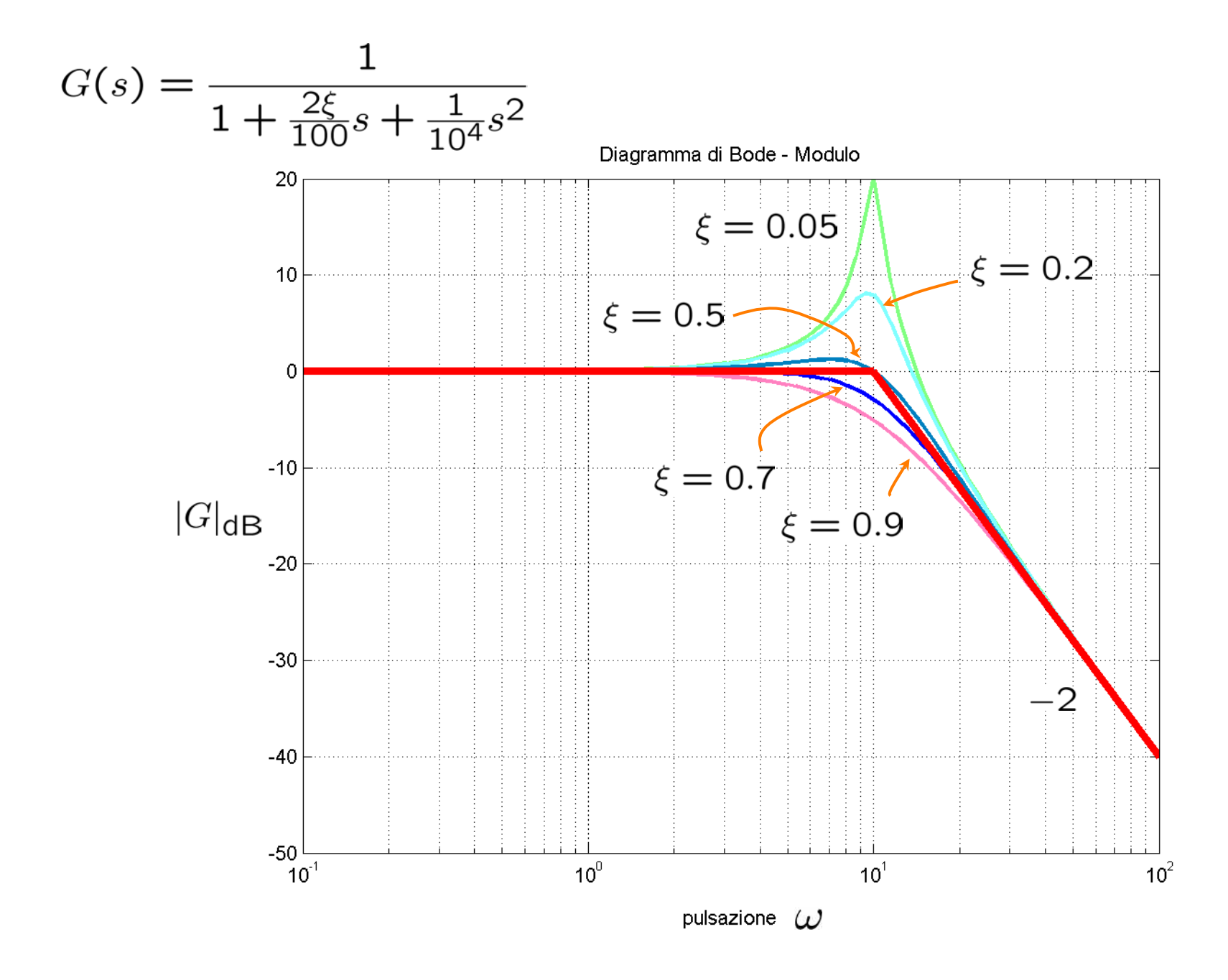
$$= 40 \log \omega - 40 \log \omega_n$$



Errore di approssimazione in $\omega = \omega_n$

$$20 \log \sqrt{4\xi^2} = 20 \log(2|\xi|)$$

- Se $|\xi| = 1$
 - $20\log(2) \simeq 6dB$
- Se $\xi \to 0$
 - $ightarrow -\infty$



- Regole per il tracciamento del diagr. asint. del modulo

- lacktriangle Pendenza iniziale -g
- $_{ullet}$ Tratto iniziale passa in $\;\omega=1\;$ per $\;|\mu|_{ extsf{dB}}$
- Cambi di pendenza in corrispondenza di poli e zeri:

- polo
$$-1$$

Pendenza finale = nr. zeri – nr. poli

$$= 0$$
 solo se $G(s)$ non str. propria

$$G(s) = \frac{100(1+10s)}{s(1+2s)(1+0.4s+s^2)}$$

$$g = 1$$

$$\mu = 100 \implies \mu_{dB} = 40dB$$

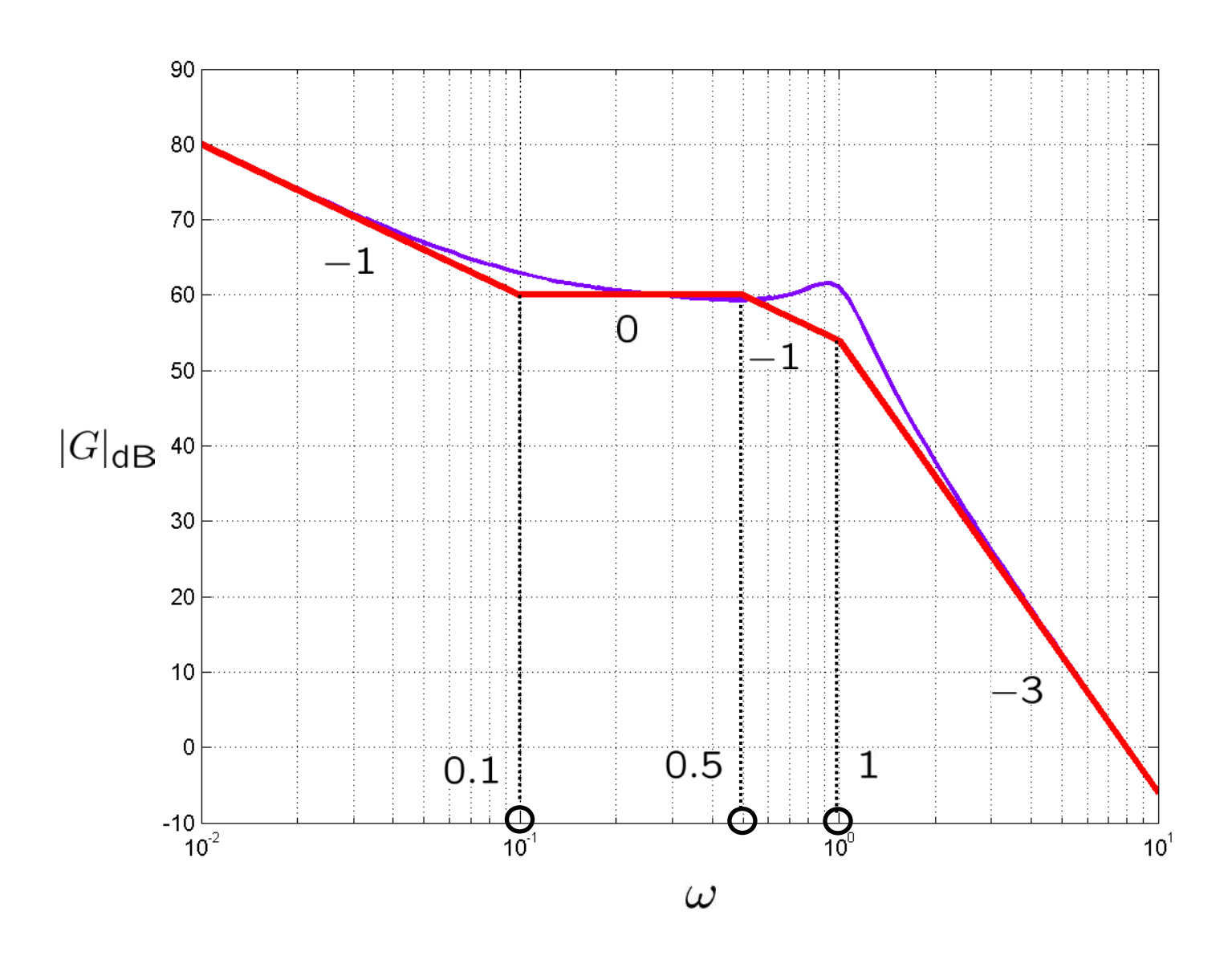
$$z_1 = -0.1$$

$$p_1 = 0$$

$$p_2 = -0.5$$

$$p_{3,4} = -0.2 \pm j\sqrt{0.96}$$

$$\omega_n = 1; \xi = 0.2$$



$$G(s) = \frac{100(1+10s)}{s(1+s)^2}$$

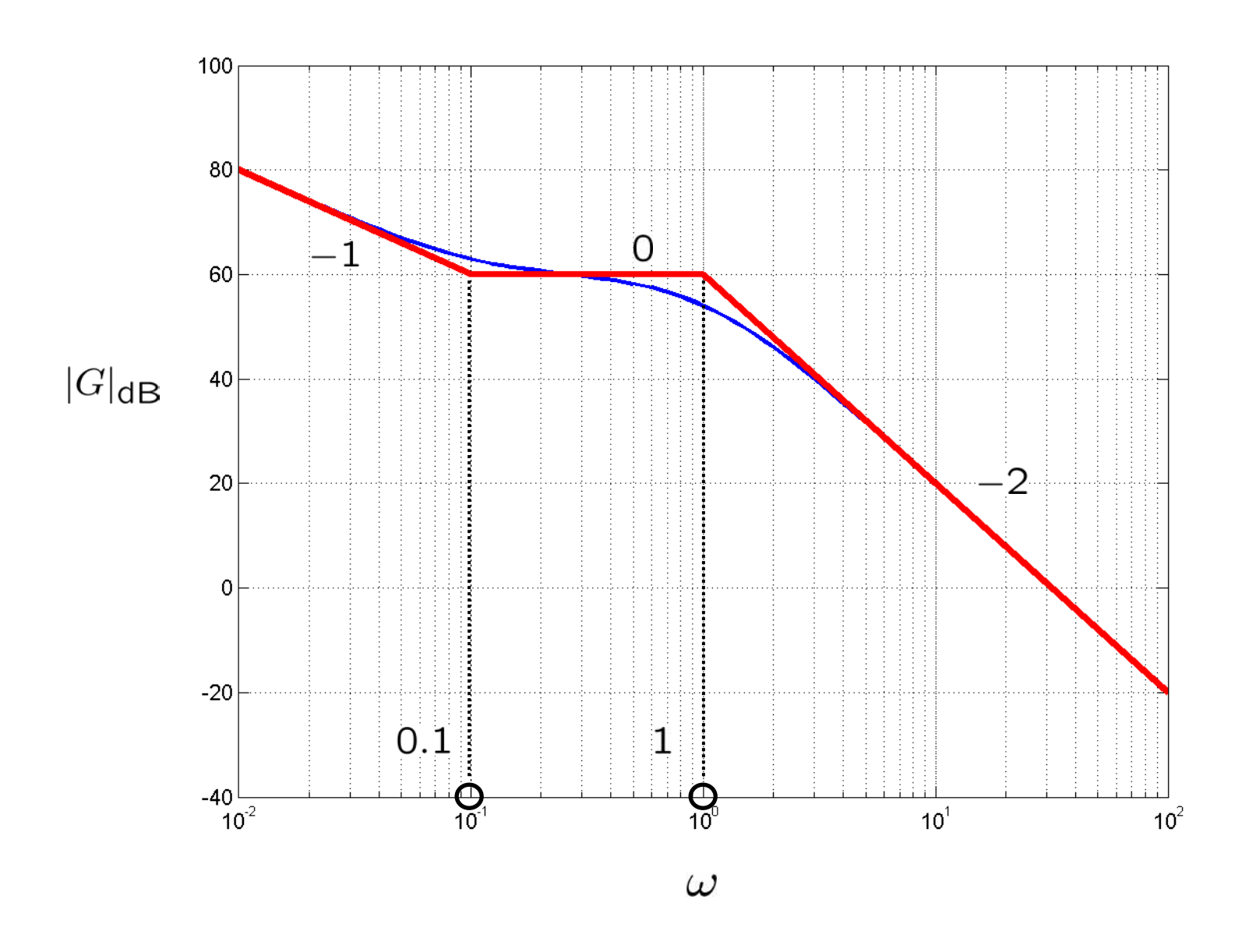
$$g=1$$

$$\mu=100 \implies \mu_{\mathrm{dB}}=40\mathrm{dB}$$

$$z_1=-0.1$$

$$p_1=0$$

 $p_2 = p_3 = -1$

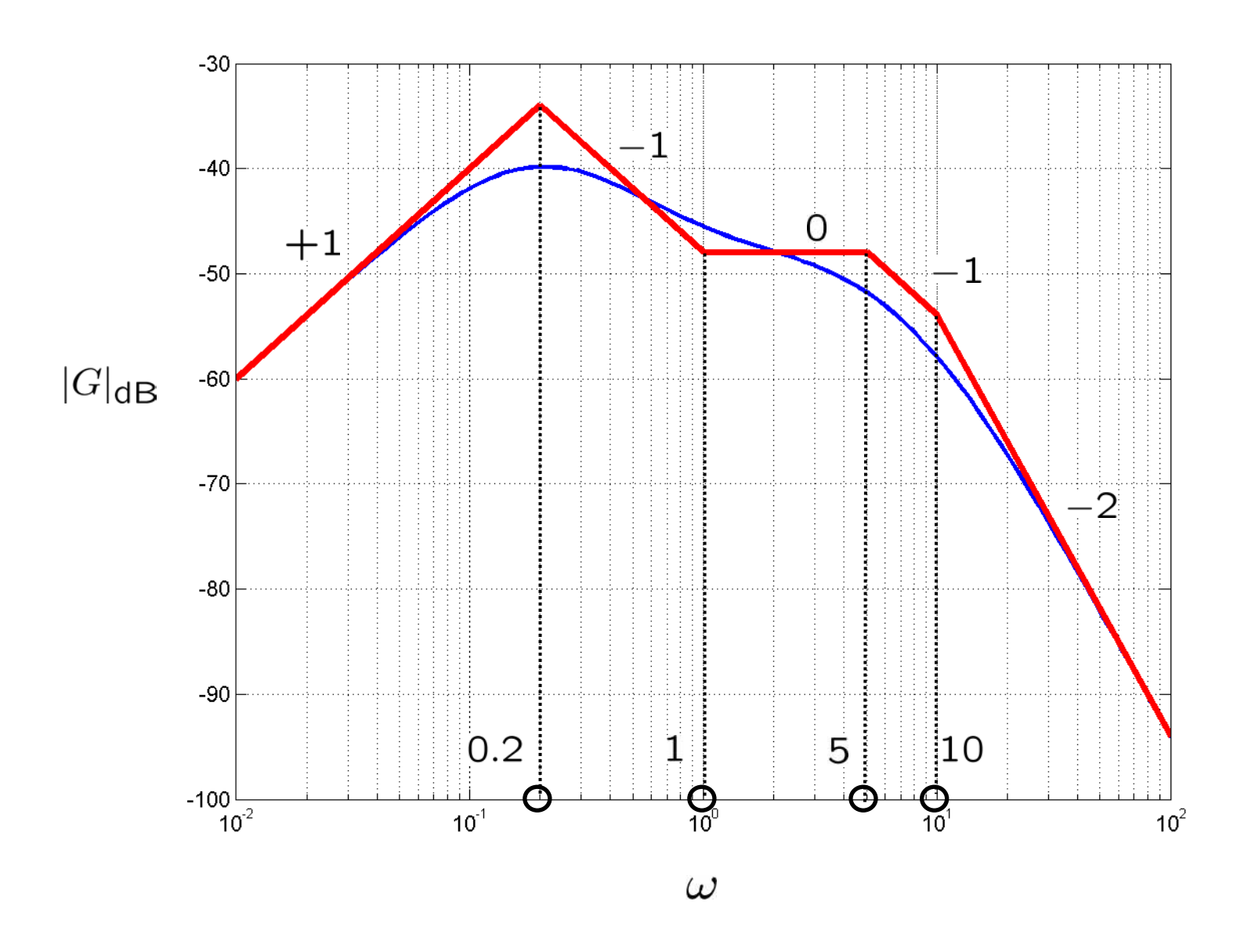


$$G(s) = \frac{0.1s(1+s)}{(1+5s)^2(1+0.2s)(1-0.1s)}$$

$$g=-1$$

 $\mu=0.1 \implies \mu_{\mathrm{dB}}=-20\mathrm{dB}$
 $z_1=0$
 $z_2=-1$
 $p_1=p_2=-0.2$
 $p_3=-5$

 $p_4 = +10$



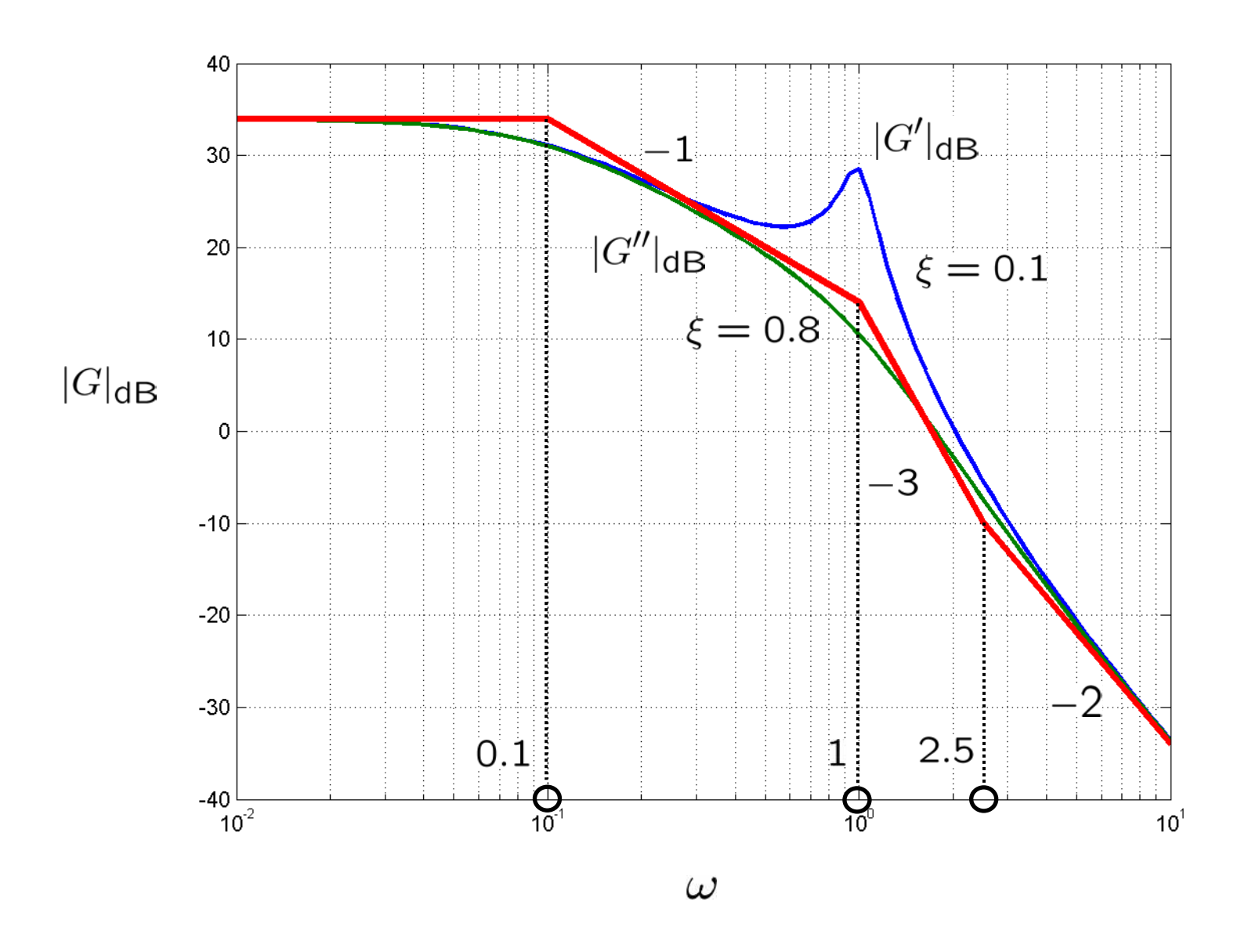
$$G'(s) = \frac{50(1+0.4s)}{(1+10s)(1+0.2s+s^2)}$$

$$G''(s) = \frac{50(1+0.4s)}{(1+10s)(1+1.6s+s^2)}$$

$$g=0$$
 $\mu=50 \Longrightarrow \mu_{\text{dB}} \simeq 34\text{dB}$
 $z_1=-2.5$
 $p_1=-0.1$

$$p'_{2,3} = -0.1 \pm j\sqrt{0.99}; \ \omega_n = 1, \, \xi = 0.1$$

$$p_{2,3}'' = -0.8 \pm j\sqrt{0.36}; \ \omega_n = 1, \, \xi = 0.8$$



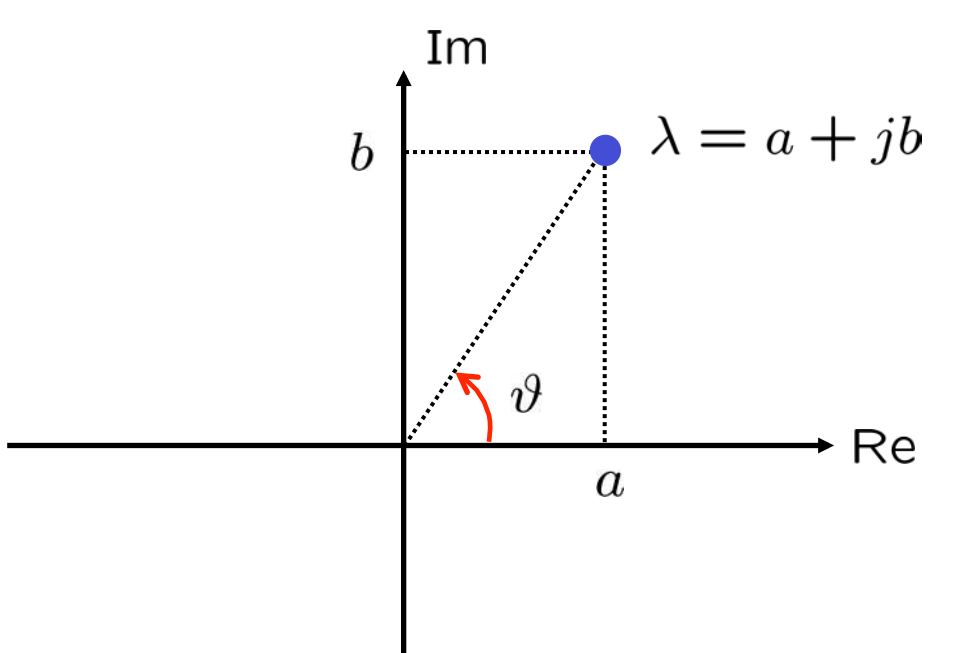
- Diagrammi di Bode: Fase

- ascisse: $\log \omega$

- ordinate: $\arg G(j\omega)$ in gradi

- Argomento di un numero complesso

$$arg\lambda = \vartheta \pm k360^{\circ}$$



Si impone per convenzione:

$$|arg\lambda| \le 180^{\circ}$$

e se
$$\lambda \in \Re, \lambda < 0$$

e se $\lambda \in \Re$, $\lambda < 0$ si impone per convenzione: $\arg \lambda = -180^{\circ}$

$$arg\lambda = -180^{\circ}$$

(Funzione atan2 di Matlab)

- Se
$$a > 0$$



$$\lambda = \operatorname{arctg} \frac{b}{a}$$

- Se
$$a < 0$$



$$\arg \lambda = \operatorname{arctg} \frac{b}{a} + 180^{\circ}$$

- Se
$$a < 0$$



$$\arg \lambda = \operatorname{arctg} \frac{b}{a} - 180^{\circ}$$

- Argomento di un numero complesso: Proprieta`

•
$$arg(\lambda \eta) = arg(\lambda) + arg(\eta)$$

•
$$arg(\lambda^k) = k arg(\lambda)$$

•
$$\operatorname{arg}\left(\frac{\lambda}{\eta}\right) = \operatorname{arg}\left(\lambda\right) - \operatorname{arg}\left(\eta\right)$$

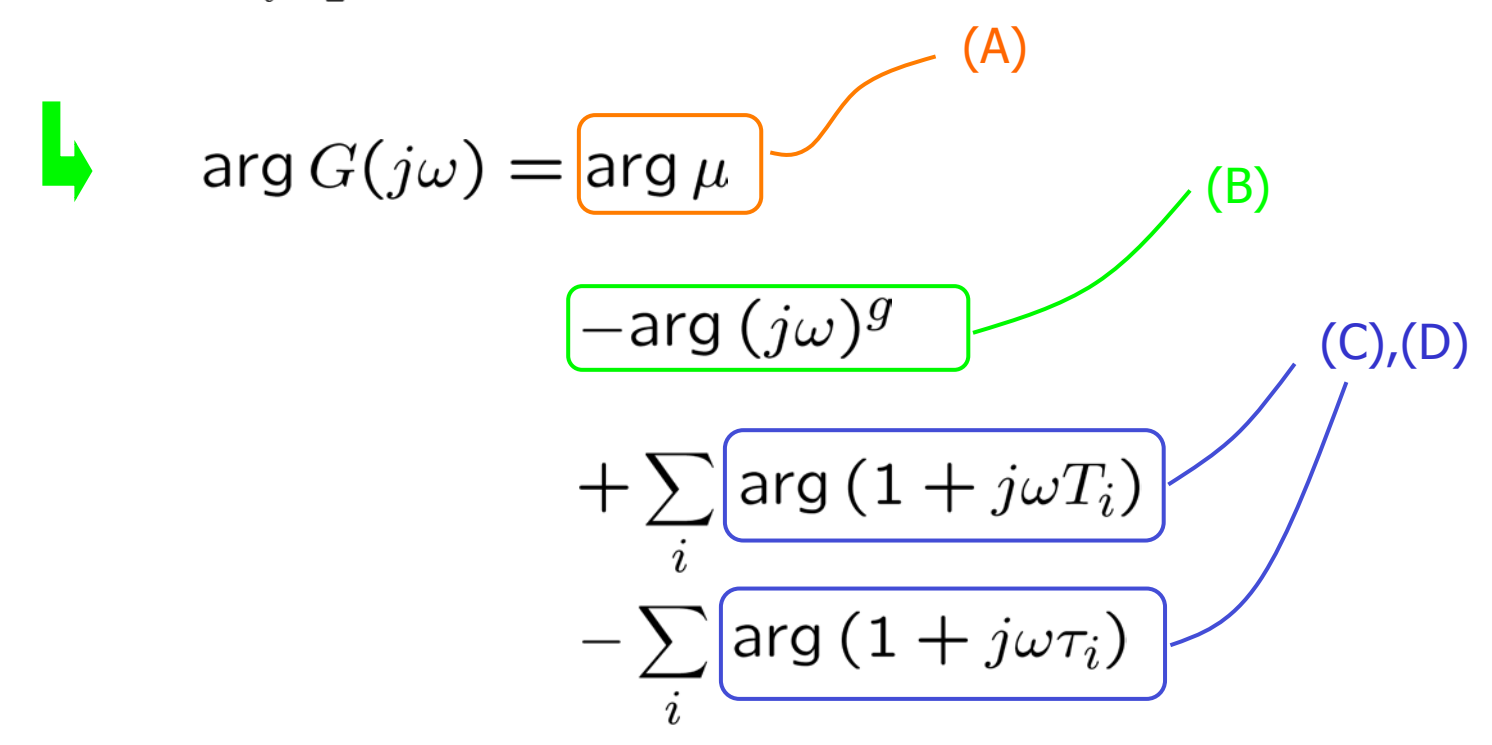


Quindi l'argomento di un numero complesso segue regole analoghe a quelle del logaritmo nel caso del modulo

- Diagrammi di Bode: Argomento

$$G(s) = \frac{\mu}{s^g} \prod_{i=1}^{m} (1 + sT_i)$$

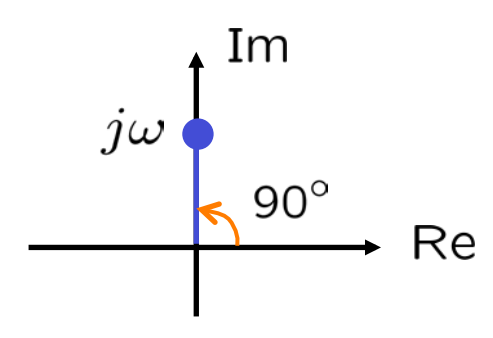
$$\prod_{i=1}^{n} (1 + s\tau_i)$$



$$0^{\circ} \qquad \mu > 0$$
 (A)
$$\arg{(\mu)} \qquad \qquad -180^{\circ} \qquad \mu < 0$$

retta costante

(B)
$$-\arg(j\omega)^g$$

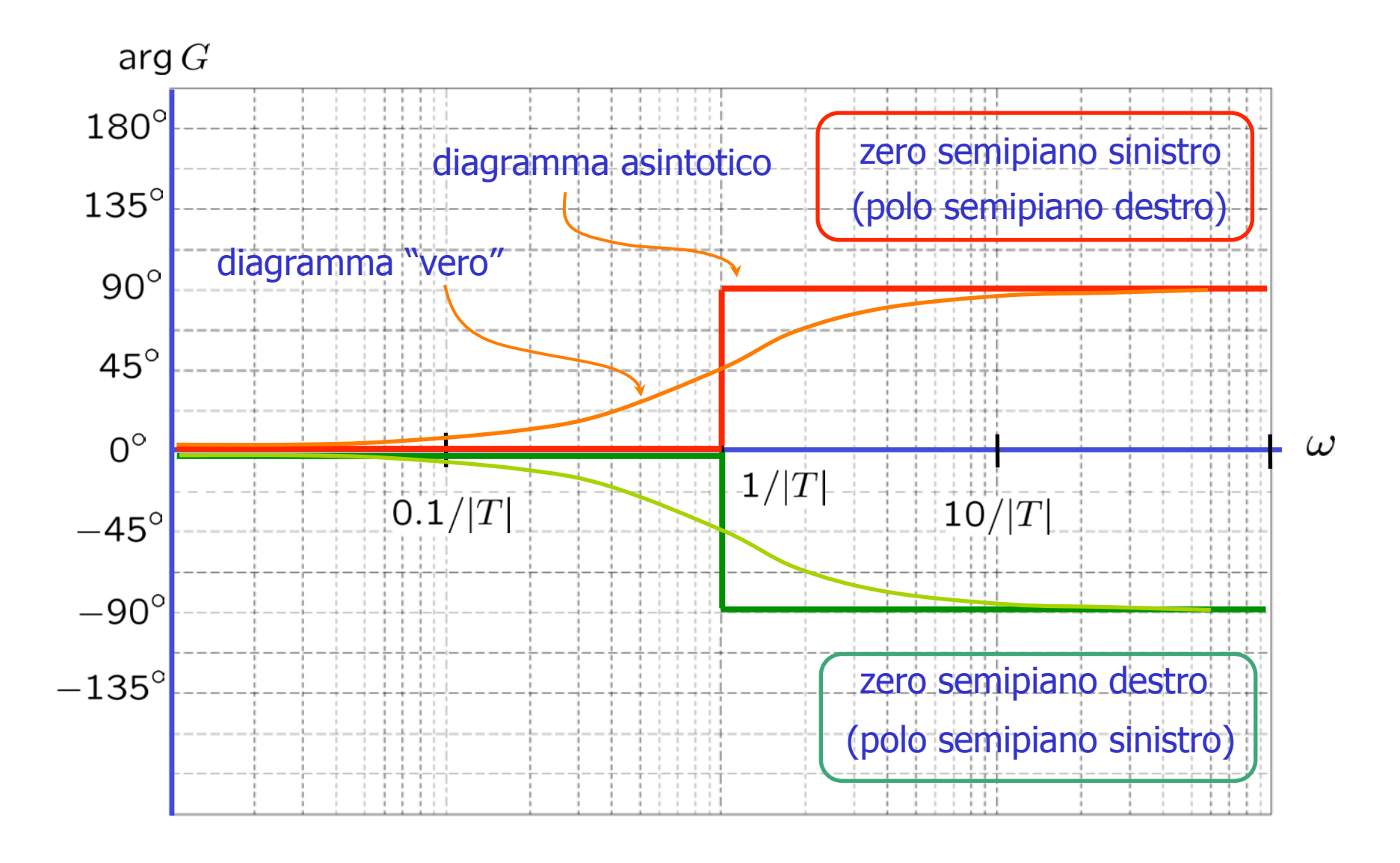


$$-\arg(j\omega)^g = -g\arg(j\omega) = -g\,90^\circ$$

retta costante

(C)
$$\left[arg \left(1 + j\omega T \right) \right]$$

- \Rightarrow arg $(1 + j\omega T) = \operatorname{arctg} \omega T$ T reale
- Se $\omega \rightarrow 0$
 - $arg (1 + j\omega T) \rightarrow 0^{\circ}$
- Se $\omega \to \infty$ $\rightarrow 90^\circ$ se T>0 $\rightarrow -90^\circ$ se T<0
- In $\omega = \frac{1}{|T|}$ $= 45^{\circ} \text{ se } T > 0$ $\Rightarrow \arg(1 + j\omega T)$ $= -45^{\circ} \text{ se } T < 0$



(D)
$$\left[\operatorname{arg} \left(1 + j\omega T \right) + \operatorname{arg} \left(1 + j\omega T^* \right) \right]$$

$$\Rightarrow \arg(1+j\omega T) + \arg(1+j\omega T^*) = \arg\left(1+\frac{2\xi}{\omega_n}j\omega - \frac{1}{\omega_n^2}\omega^2\right)$$

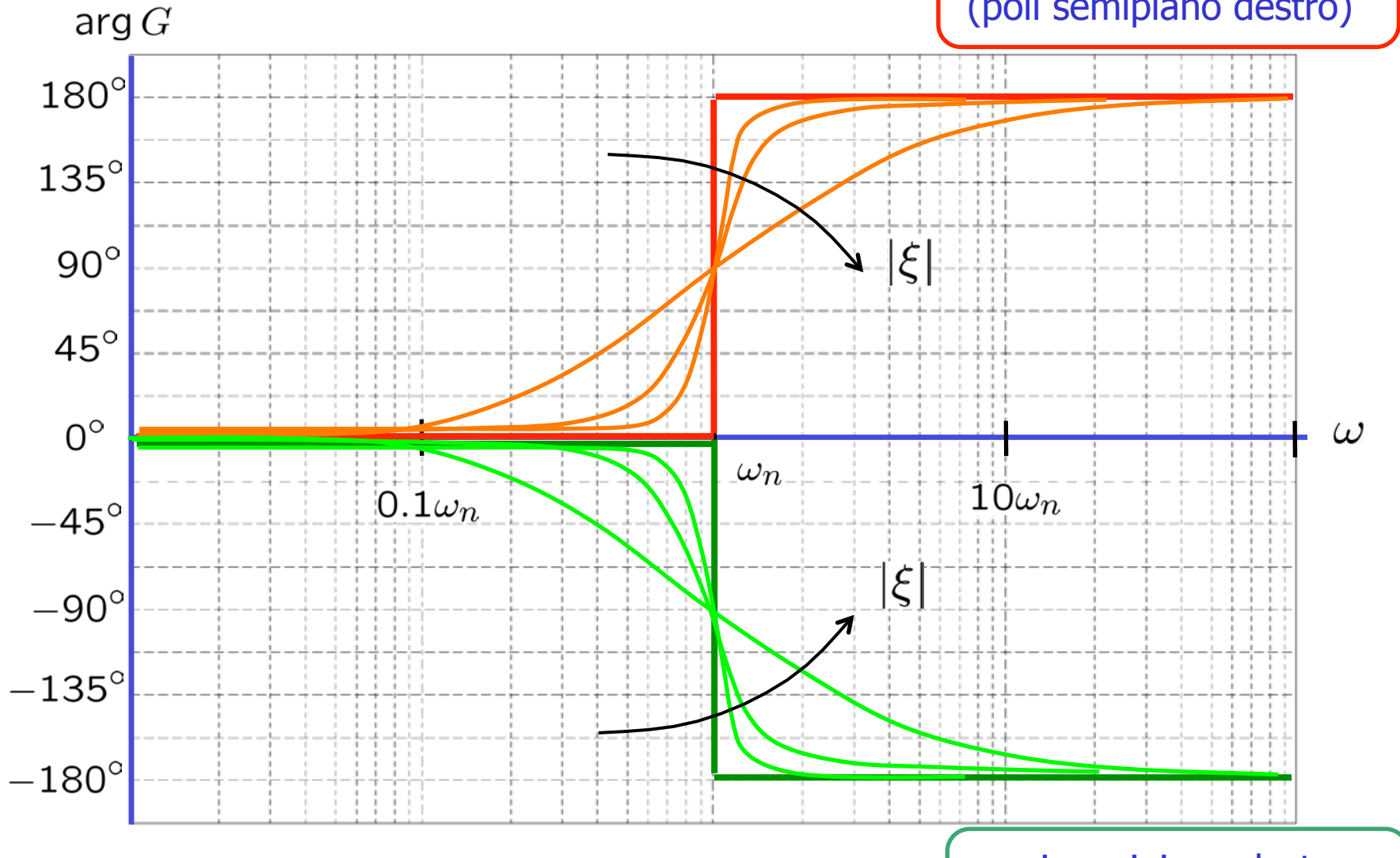
- Se $\omega \rightarrow 0$
 - $\operatorname{arg}\left(1+\frac{2\xi}{\omega_n}j\omega-\frac{1}{\omega_n^2}\omega^2\right)\simeq \operatorname{arg}(1)=0^\circ$
- Se $\omega o \infty$

$$\lim_{\omega \to \infty} \arctan \frac{2\xi/\omega_n}{1 - \omega^2/\omega_n^2} = 0^{\circ} \quad \begin{array}{c} +180^{\circ} & \text{se } \xi > 0 \\ -180^{\circ} & \text{se } \xi < 0 \end{array}$$

• In $\omega = \omega_n$ $= 90^\circ \quad \text{se } \xi > 0$ $\Rightarrow \arg \left(j \frac{2\xi \omega_n}{\omega_n} \right) = -90^\circ \quad \text{se } \xi < 0$



zeri semipiano sinistro (poli semipiano destro)



zeri semipiano destro (poli semipiano sinistro)

- Regole per il tracciamento del diagr. asint. della fase

- Valore iniziale $arg(\mu) g90^{\circ}$
- Cambi di valore in corrispondenza di poli e zeri:

	semipiano sinistro	semipiano destro
poli	-90°	+90°
zeri	+90°	-90°

$$G(s) = \frac{100(1+10s)}{s(1+2s)(1+0.4s+s^2)}$$

$$g = 1$$

$$\mu = 100 \implies \mu_{dB} = 40dB$$

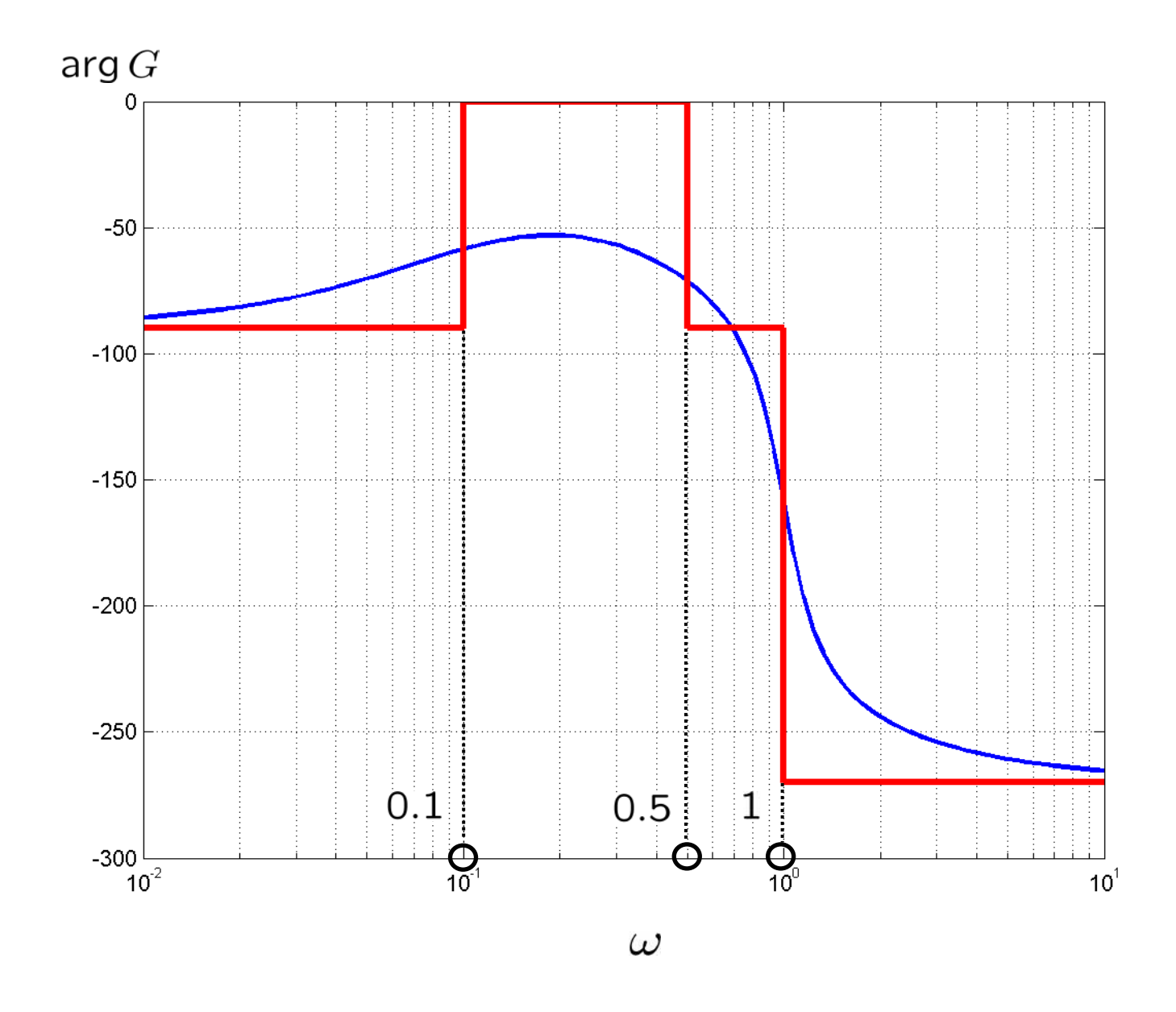
$$z_1 = -0.1$$

$$p_1 = 0$$

$$p_2 = -0.5$$

$$p_{3,4} = -0.2 \pm j\sqrt{0.96}$$

 $\omega_n = 1; \, \xi = 0.2$



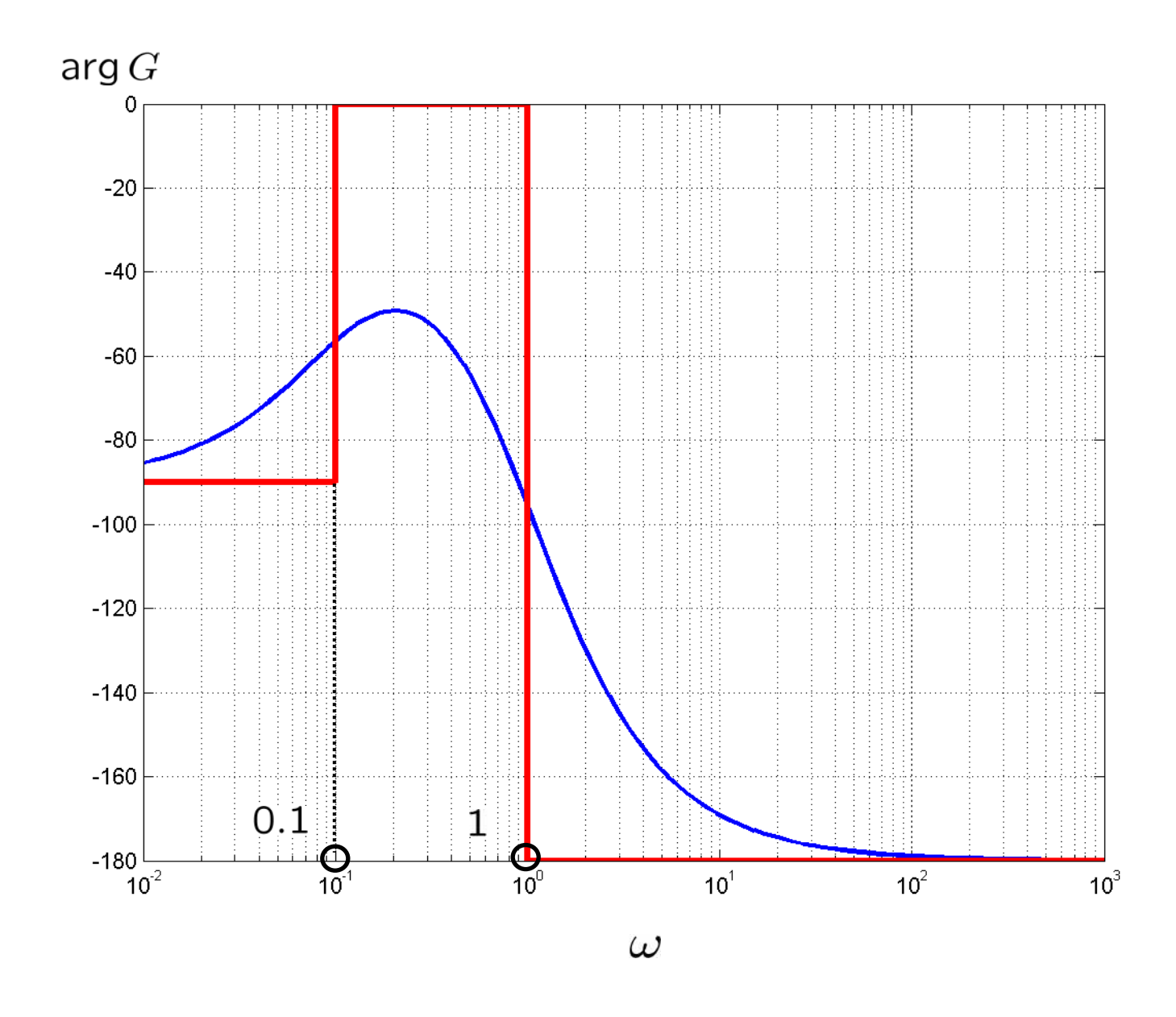
$$G(s) = \frac{100(1+10s)}{s(1+s)^2}$$

$$g=1$$
 $\mu=100 \implies \mu_{\mathrm{dB}}=40\mathrm{dB}$

$$z_1 = -0.1$$

$$p_1 = 0$$

$$p_2 = p_3 = -1$$



$$G(s) = \frac{0.1s(1+s)}{(1+5s)^2(1+0.2s)(1-0.1s)}$$

$$g = -1$$

$$\mu = 0.1 \implies \mu_{dB} = -20dB$$

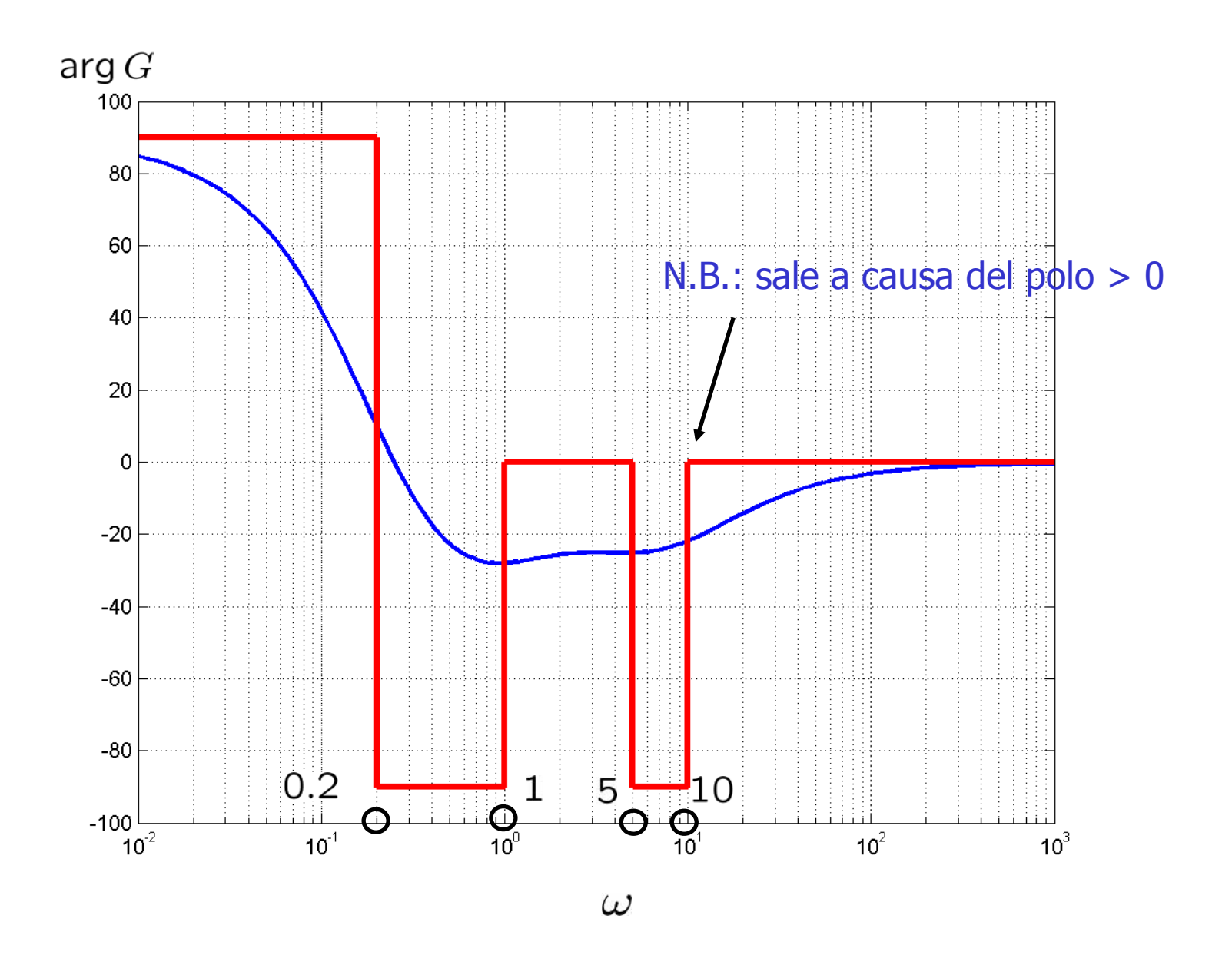
$$z_1 = 0$$

$$z_2 = -1$$

$$p_1 = p_2 = -0.2$$

$$p_3 = -5$$

$$p_4 = +10$$



$$G'(s) = \frac{50(1+0.4s)}{(1+10s)(1+0.2s+s^2)}$$

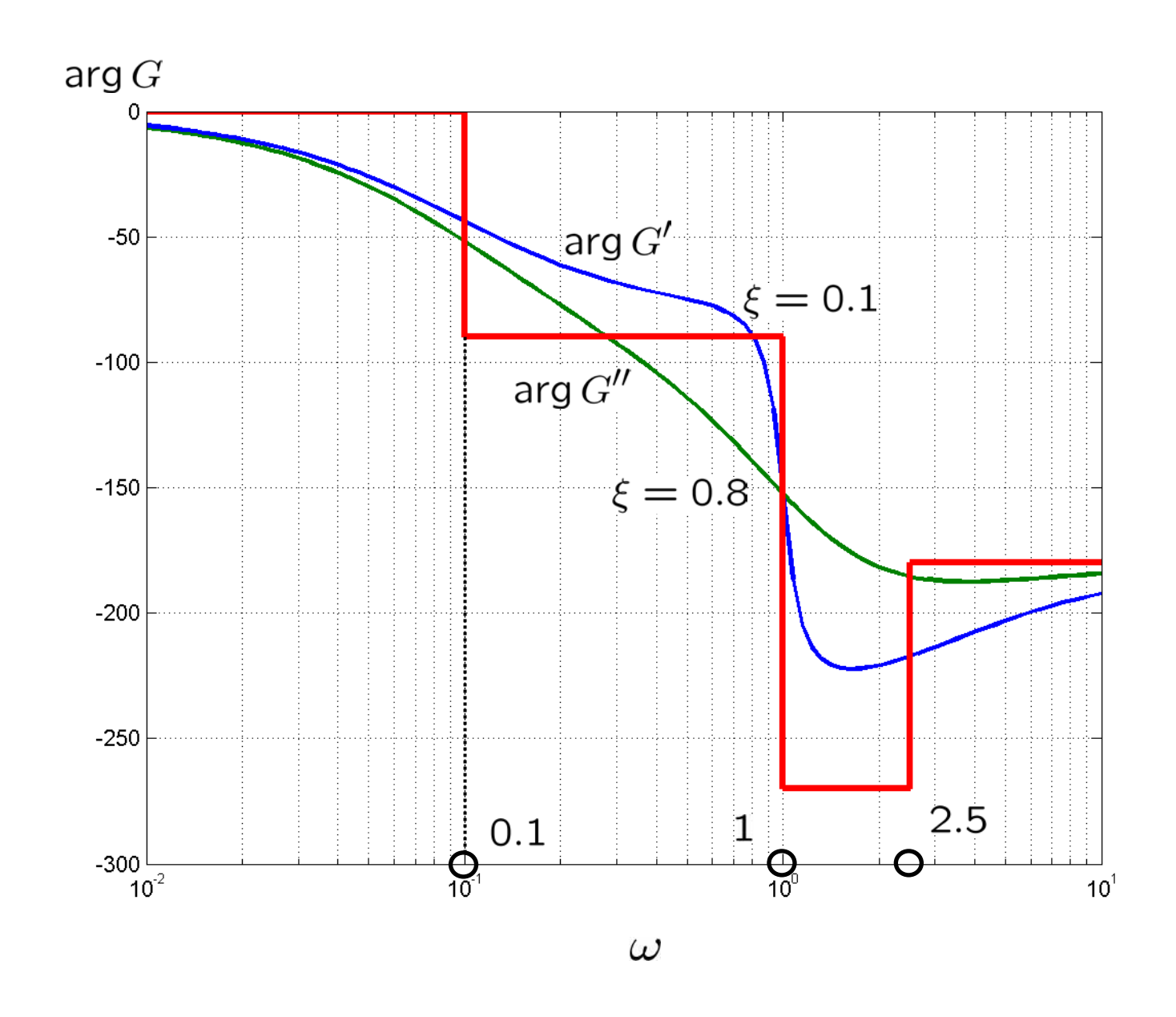
$$G''(s) = \frac{50(1+0.4s)}{(1+10s)(1+1.6s+s^2)}$$

$$g=0$$

 $\mu=50 \Longrightarrow \mu_{\text{dB}} \simeq 34\text{dB}$
 $z_1=-2.5$
 $p_1=-0.1$

$$p'_{2,3} = -0.1 \pm j\sqrt{0.99}; \ \omega_n = 1, \xi = 0.1$$

$$p_{2,3}'' = -0.8 \pm j\sqrt{0.36}; \ \omega_n = 1, \, \xi = 0.8$$



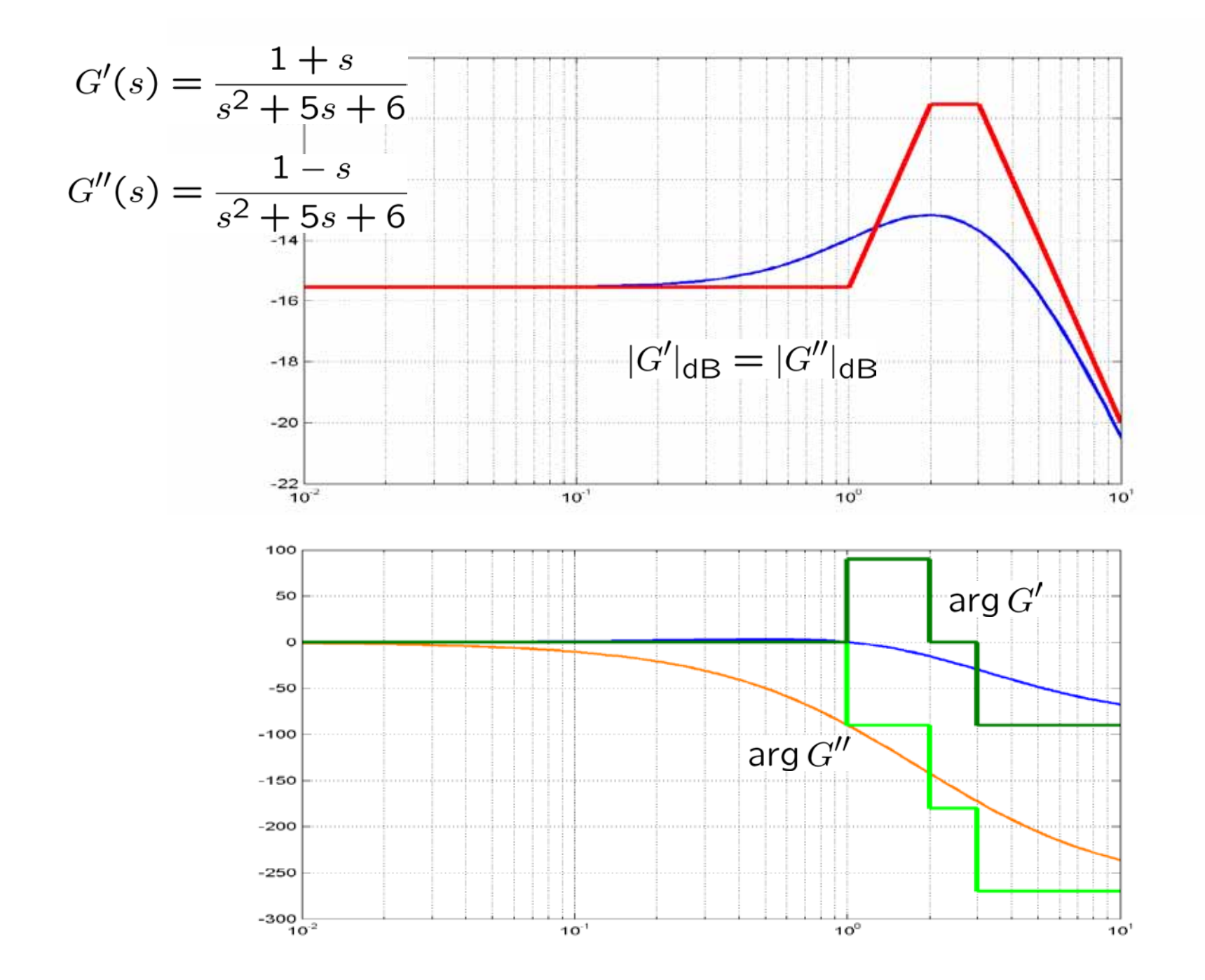
- Legami tra $|G(j\omega)|$ e $\arg G(j\omega)$
 - In generale nessuno
 - Per sistemi a fase minima:
 - formula di Bode

$$rg G(j\omega)$$
 in funzione di $|G(j\omega)|$

- legame tra i diagrammi asintotici

- Sistema a fase minima

- Guadagno $\mu > 0$
- Poli e zeri con Re < 0



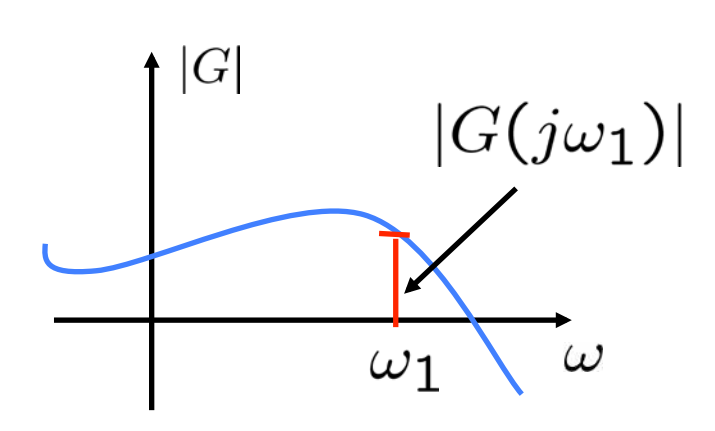
- Legami tra $|G(j\omega)|$ e $\arg G(j\omega)$

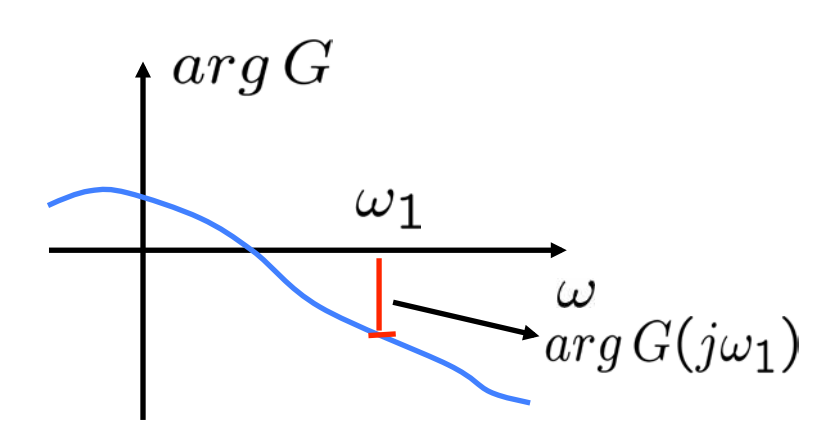
Per sistemi a fase minima:

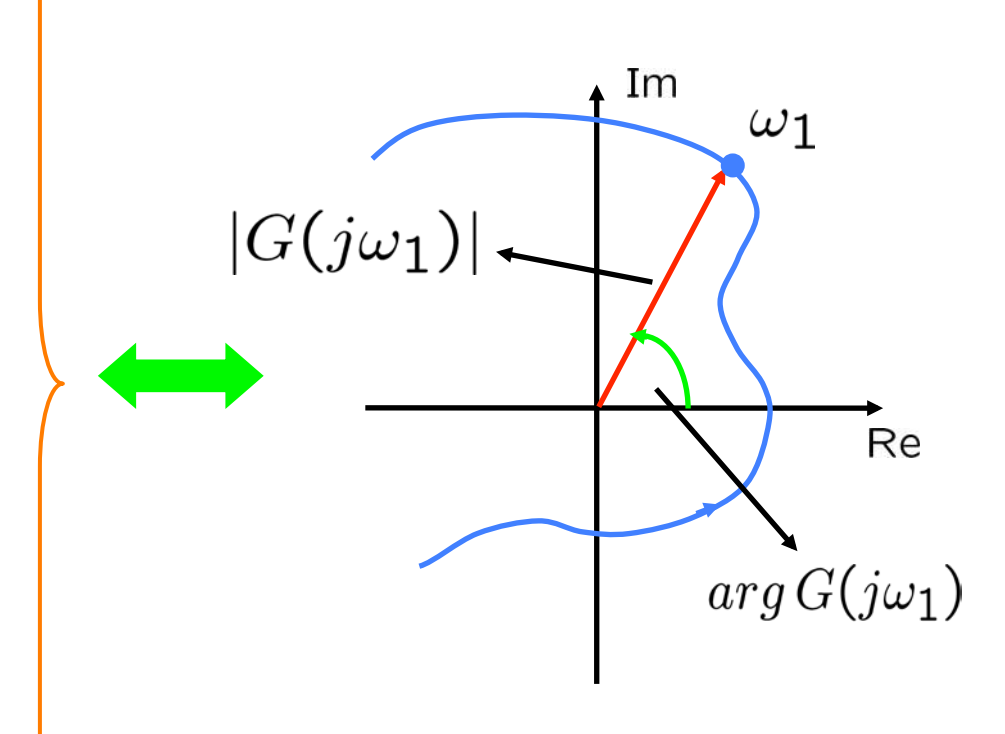
Pendenza
$$|G(j\omega)|$$
 Valore $\arg G(j\omega)$
Polo -1 -90°
Zero $+1$ $+90^{\circ}$

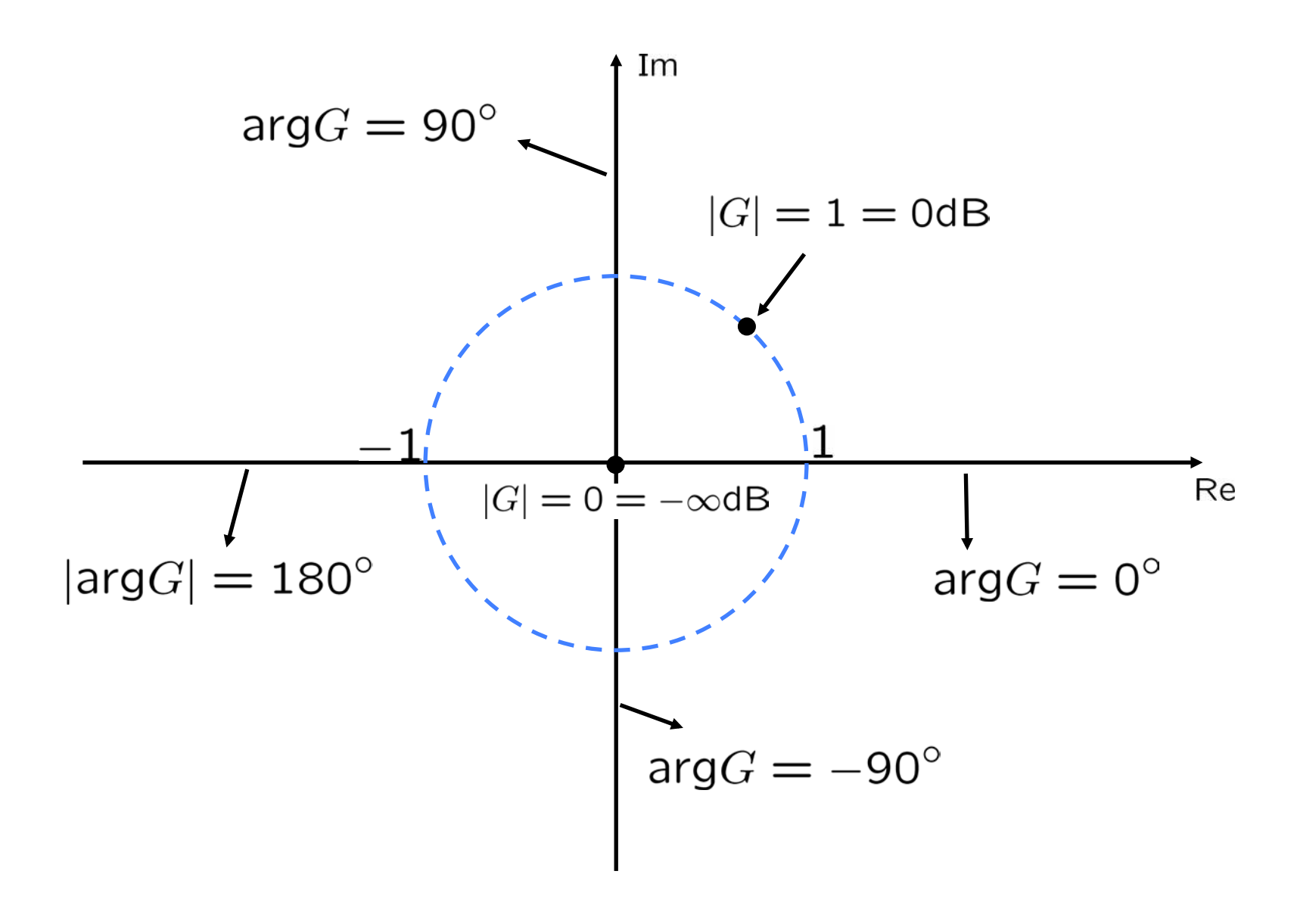
- Diagrammi polari

$$G(j\omega)$$
, $\omega \geq 0$









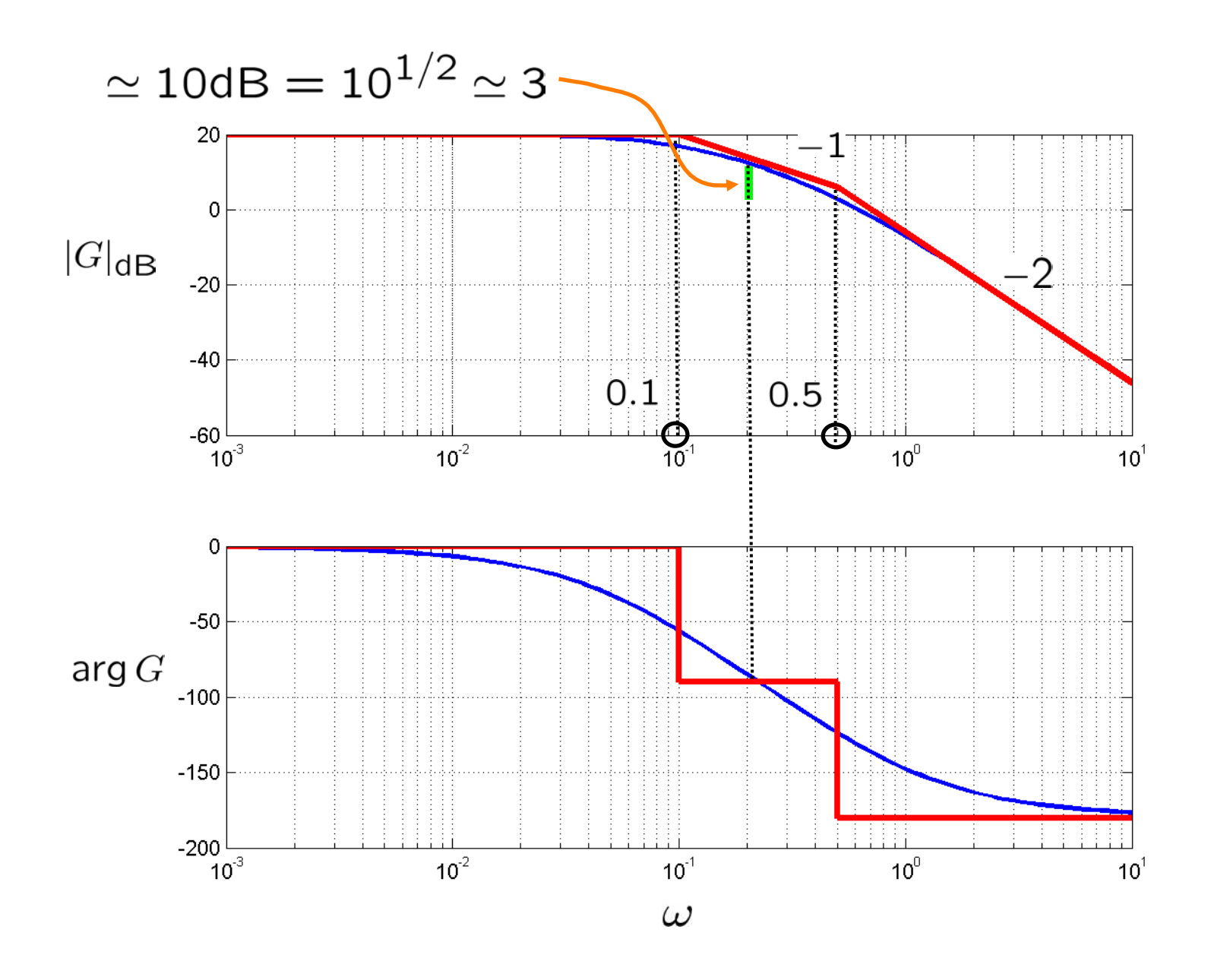
- Esempio 1

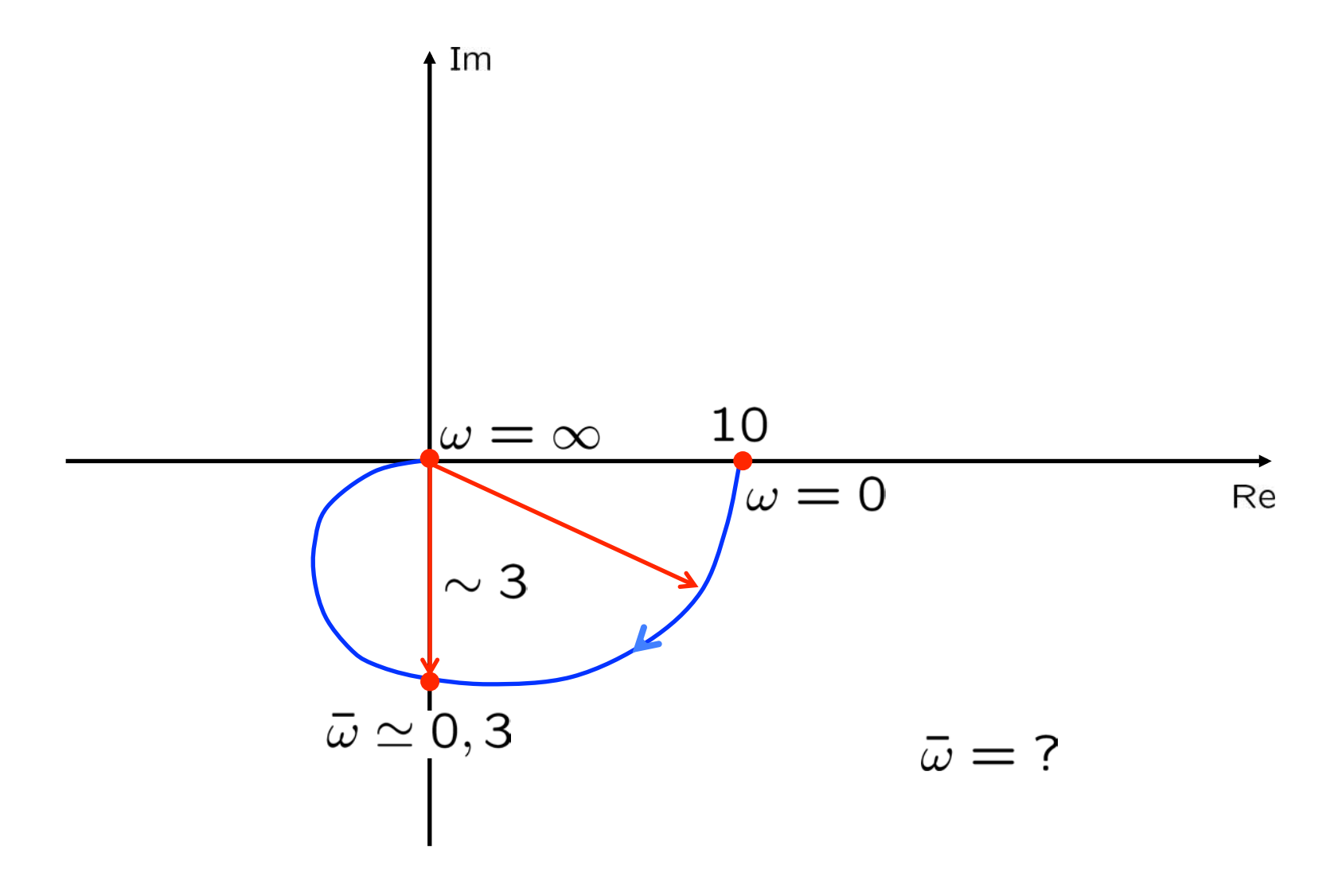
$$G(s) = \frac{10}{(1+10s)(1+2s)}$$

$$\mu = 10 \implies \mu_{dB} = 20dB$$

 $g = 0$

$$\tau_1 = 10$$
 $\omega_1 = 0.1$ $\tau_2 = 2$ $\omega_2 = 0.5$





- Esempio 2

$$G(s) = \frac{\omega_n^2}{s^2 + 2\xi\omega_n s + \omega_n^2}$$

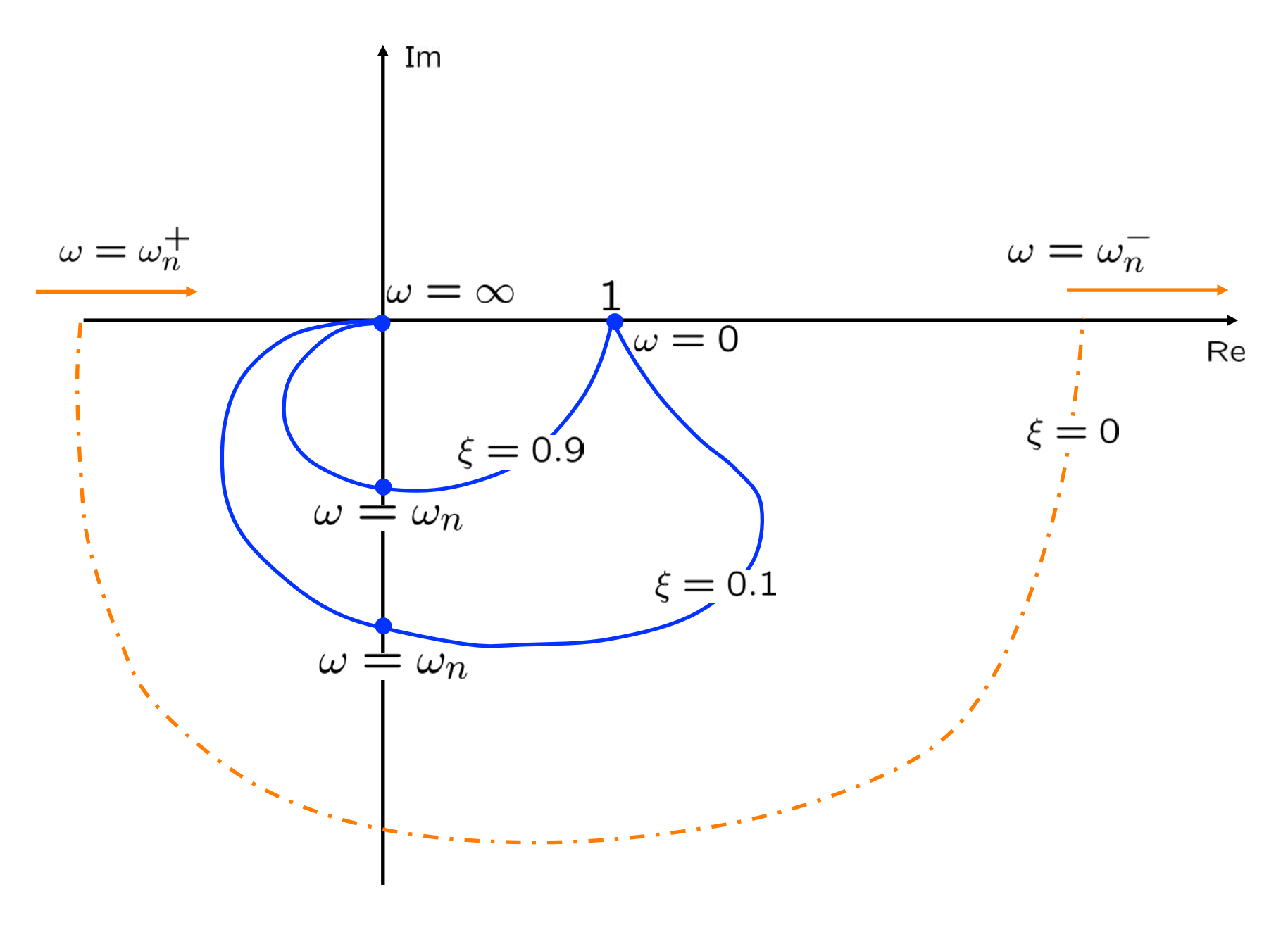
$$\mu = G(0) = 1$$

$$g = 0$$

$$\xi = 0.9$$

$$\xi = 0.1$$

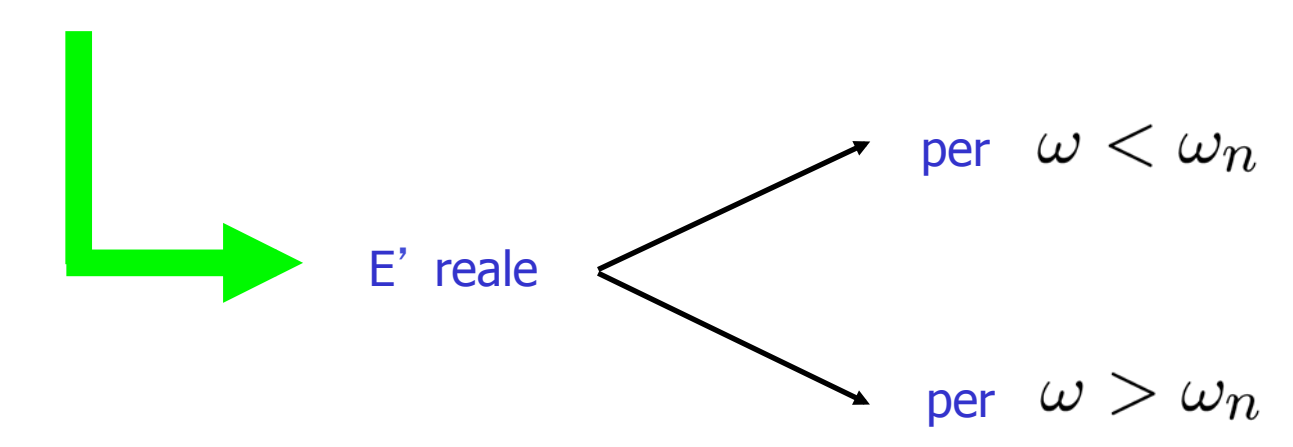
$$\xi = 0$$



$$\xi = 0$$

$$G(s) = \frac{\omega_n^2}{s^2 + \omega_n^2}$$

$$G(j\omega) = \frac{\omega_n^2}{\omega_n^2 - \omega_n^2}$$



- Esempio 3

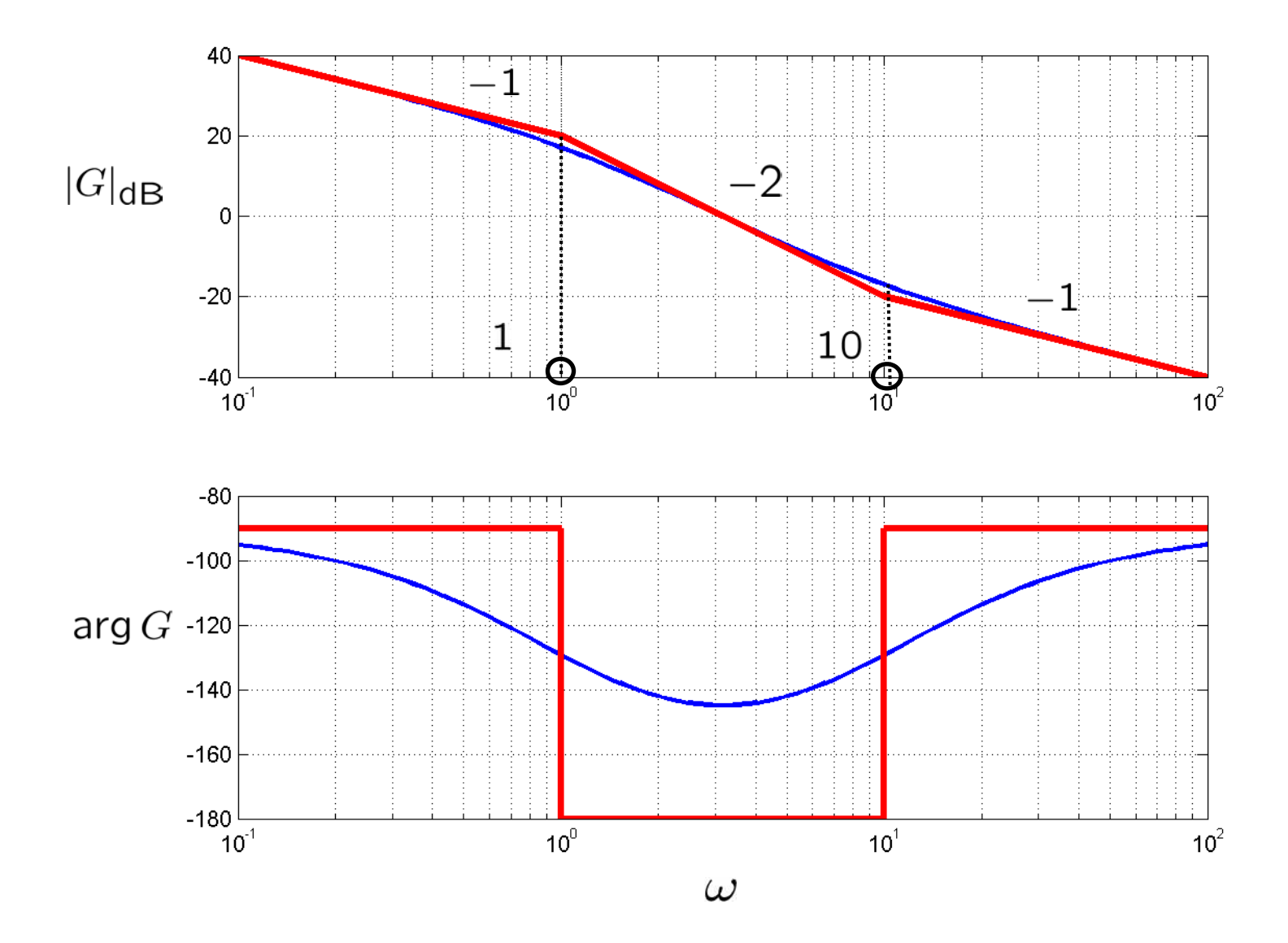
$$\omega = 10$$

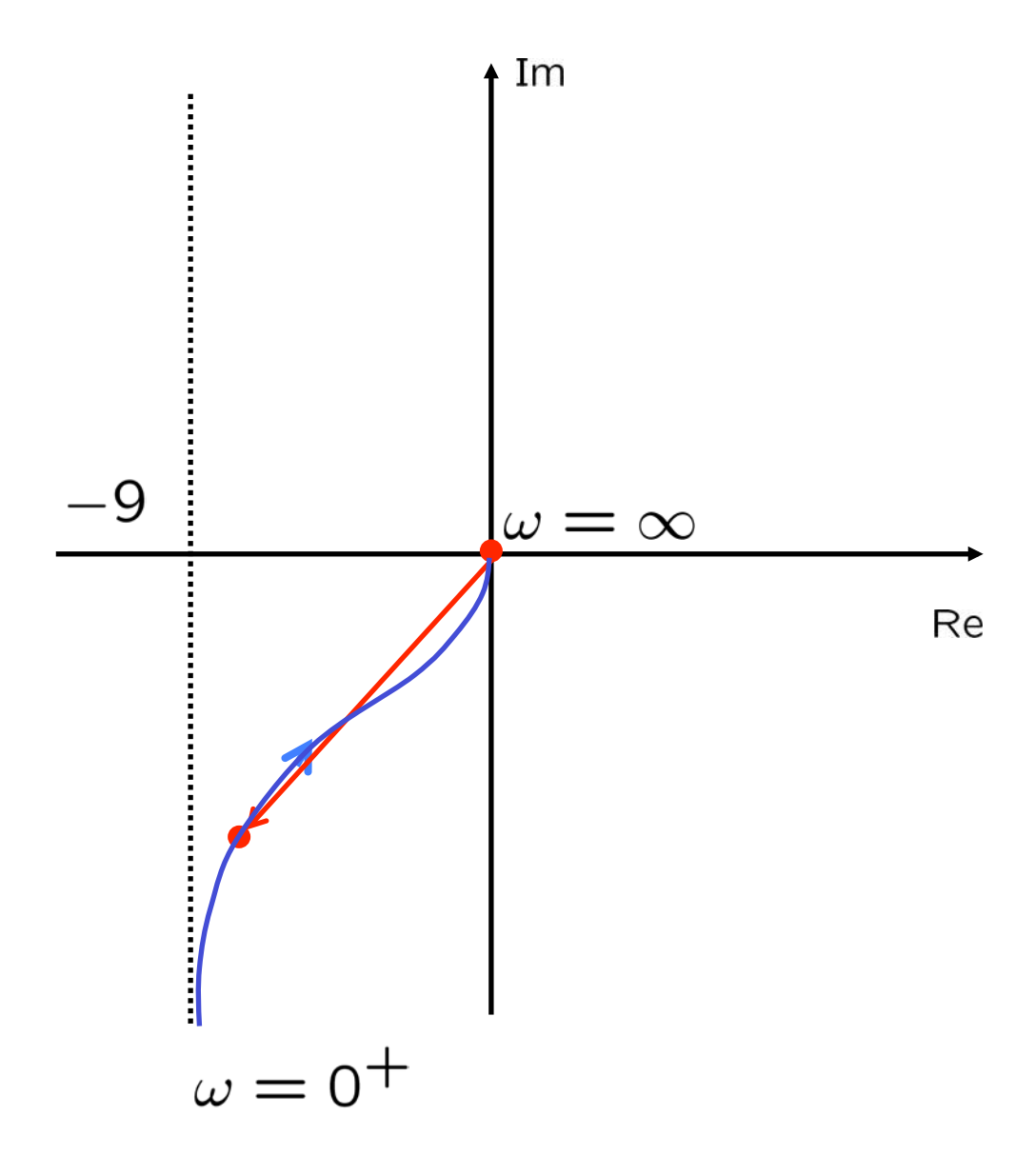
$$G(s) = \frac{s+10}{s(s+1)} = \frac{10(1+\frac{s}{10})}{s(1+s)}$$

$$\omega = 1$$

$$g=1$$

$$\mu=10 \implies \mu_{\mathrm{dB}}=20\mathrm{dB}$$





- Compito a casa:

valutare la posizione dell'asintoto

$$\lim_{\omega \to 0} Re(G(j\omega)) = \dots = -9$$

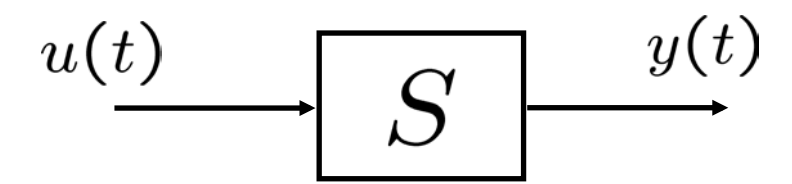
$$\lim_{\omega \to 0} Re(G(j\omega)) = \dots$$

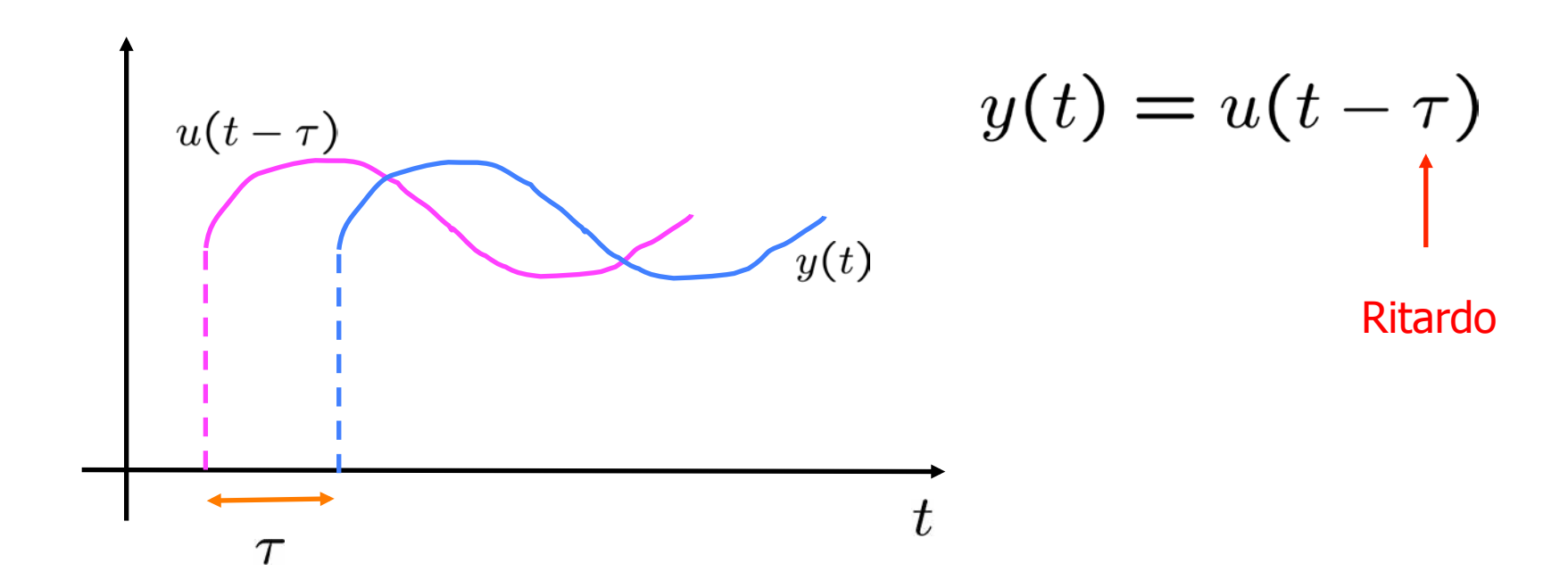
$$(G(j\omega)) = \frac{j\omega + 10}{j\omega(j\omega + 1)} = \frac{-\omega + 10j}{-\omega(j\omega + 1)} =$$

$$=\frac{(-\omega+10j)(1-j\omega)}{-\omega(1+\omega^2)} = \frac{-\omega+10\omega+j(10+\omega^2)}{-\omega(1+\omega^2)}$$

$$\omega \to 0$$

Ritardo di tempo

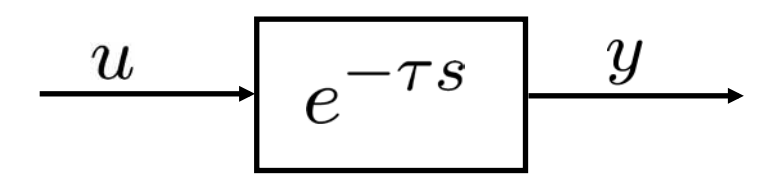




Funzione di trasferimento

$$Y(s) = \mathcal{L}\left\{u(t-\tau)\right\} = \underbrace{e^{-\tau s}}_{\text{G(s)}} \cdot U(s)$$

$$\text{Sometimes} \quad \text{Non è razionale}$$



Guadagno statico:

$$G(0) = 1 = \frac{\bar{y}}{\bar{u}}$$

Risposta alla sinusoide

$$u(t) = A\sin(\omega t)$$

$$y(t) = A\sin[\omega(t - \tau)]$$

$$= \underbrace{1 \cdot A} \sin(\omega t - \omega \tau)$$

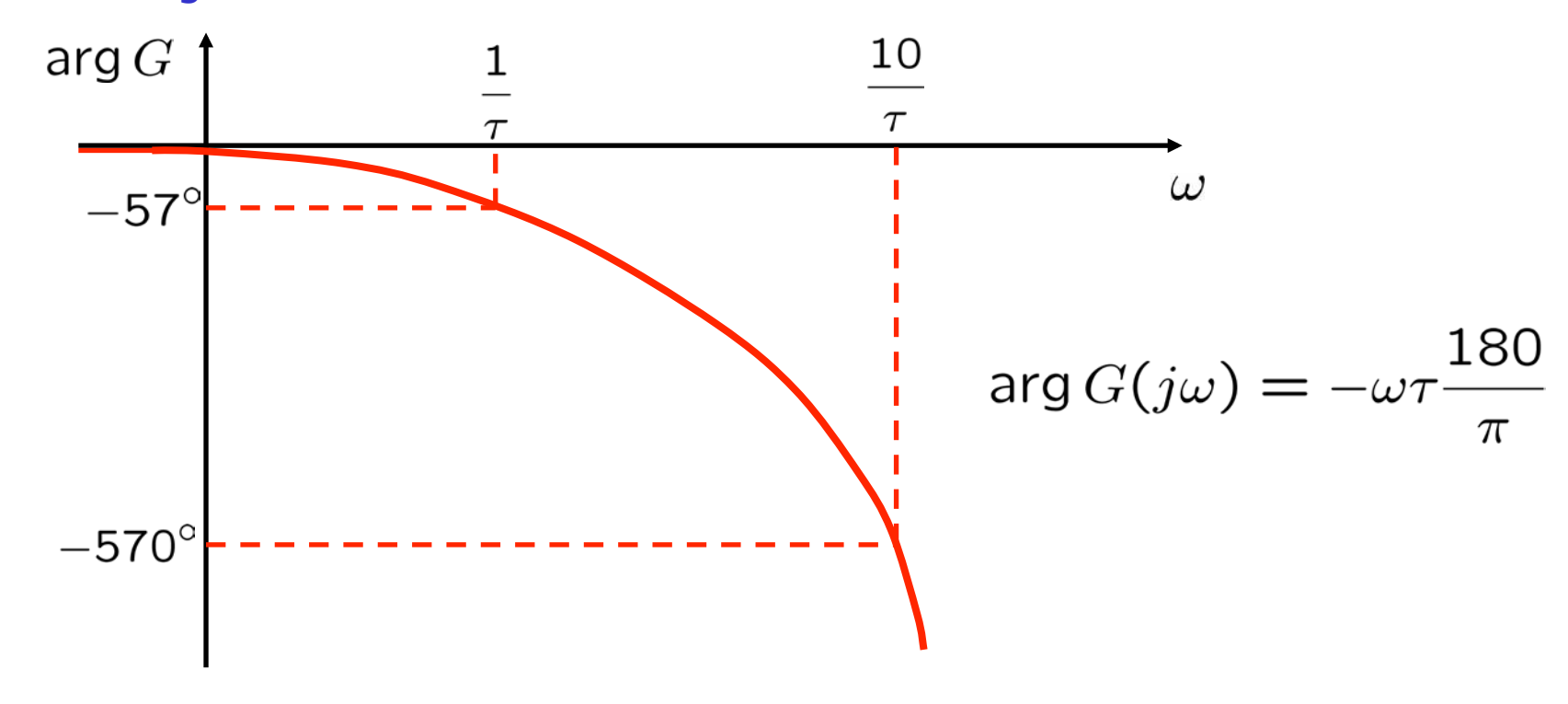
$$|G(j\omega)| \operatorname{arg} G(j\omega)$$

VALE IL TEOREMA R.I.F.!!!!!

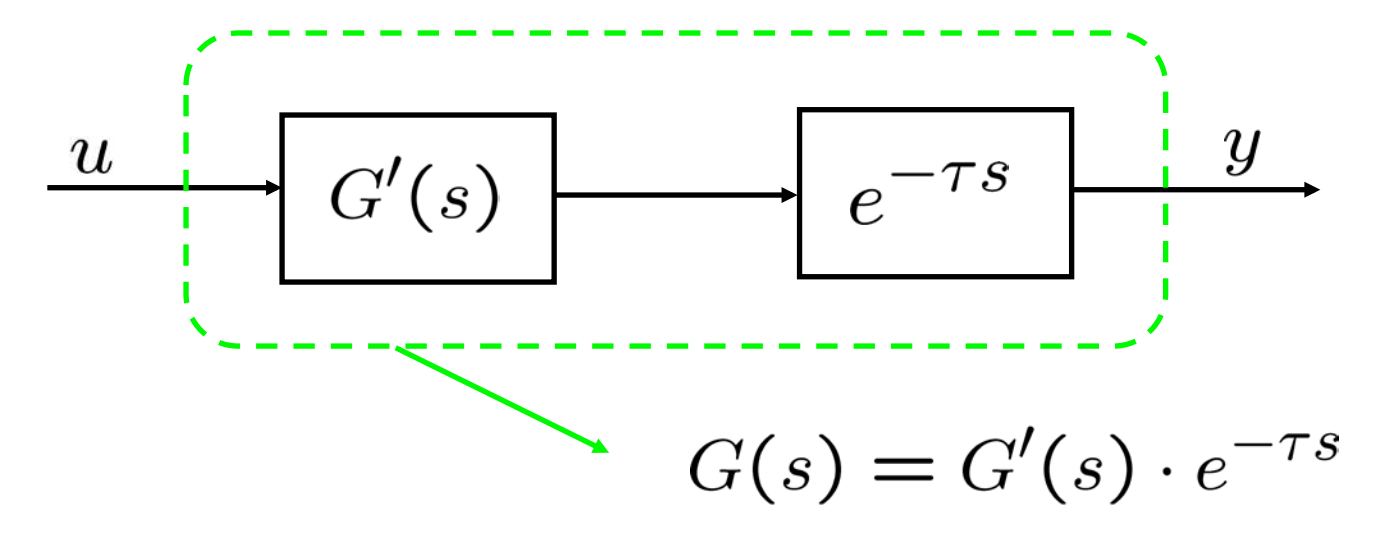
Diagramma di Bode del modulo



Diagramma di Bode della fase



Sistemi con ritardo



$$|G(j\omega)| = |G'(j\omega)| \cdot |e^{j\omega\tau}| = |G'(j\omega)|$$

$$\arg G(j\omega) = \arg G'(j\omega) - \omega \tau \frac{180}{\pi}$$

Studio di sistemi dinamici a tempo discreto tramite FdT

Risposta in frequenza

Uscita a regime ad ingresso sinusoidale

$$\begin{cases} x(k+1) = Ax(k) + Bu(k) \\ y(k) = Cx(k) + Du(k) \end{cases} \qquad G(z) = \left[C(zI - A)^{-1}B + D \right]$$

Sistema asintoticamente stabile

Ingresso sinusoidale
$$u(k) = U \sin(\theta k) \cdot 1(k)$$

Che espressione avrà l'uscita forzata del sistema?

$$Y(z) = G(z) \frac{z \sin(\theta)U}{(z - e^{j\theta})(z - e^{-j\theta})}$$

Poli tutti distinti

$$Q = G\left(e^{j\theta}\right) \frac{U}{2j}$$

$$y(k) = \mathcal{Z}^{-1} \left[\sum_{i=1}^{n} \frac{P_i z}{z - p_i} + \frac{Q z}{(z - e^{j\theta})} + \frac{Q^* z}{(z - e^{-j\theta})} \right]$$

transitorio

Risposta di regime sinusoidale

$$y_{regime}(k) = \left| G\left(e^{j\theta}\right) \right| U \sin\left(\theta k + \angle G\left(e^{j\theta}\right)\right) \mathbf{1}(k)$$

Cenni di dimostrazione

Partendo dall' ingresso

$$u(k) = U \sin(\theta k) \cdot 1(k) = \frac{U}{2j} \left(e^{j\theta} - e^{-j\theta} \right)$$

 Sulla falsariga di quanto appena ottenuto per il caso a tempo continuo e sfruttando la linearità si ottiene per la risposta a regime l'espressione

$$y_{regime}(k) = U \cdot M \cdot \left[\frac{e^{j(\vartheta k + \varphi)} - e^{-j(\vartheta k + \varphi)}}{2j} \right] \cdot 1(k)$$

$$G\left(e^{j\vartheta}\right) = M \cdot e^{j\varphi}$$

$$y_{regime}(k) = U \cdot M \cdot \sin(\theta k + \varphi) \cdot \mathbf{1}(k)$$

Valgono considerazioni analoghe a quelle viste per la risposta a regime sinusoidale nel caso di sistemi dinamici a tempo continuo.

$$G\left(e^{j\vartheta}\right) = M \cdot e^{j\,\varphi}$$

$$y_{regime}(k) = U \cdot M \cdot \sin(\theta k + \varphi) \cdot 1(k)$$

Teorema fondamentale della risposta in frequenza

Se si applica ad un sistema lineare asintoticamente stabile con FdT G(z) l'ingresso sinusoidale

$$u(k) = U \sin(\theta k)$$

l'uscita a transitorio esaurito assume l'espressione

$$y_{regime}(k) = \left| G\left(e^{j\theta}\right) \right| U \sin\left(\theta k + \angle G\left(e^{j\theta}\right)\right) \mathbf{1}(k)$$

indipendentemente dallo stato iniziale.

Risposta in frequenza

La funzione complessa

$$G(e^{j\theta}) = \left[C(e^{j\theta}I - A)^{-1}B + D \right]$$

definita per $\theta \in [0, \pi]$ tali che il termine $e^{j\theta}$ non sia polo di G(z), viene chiamata risposta in frequenza associata al sistema.

Formalmente vale la

$$G(e^{j\theta}) = G(z)|_{z=e^{j\theta}}$$

La risposta in frequenza coincide allora con la FdT del sistema valutata sui punti della circonferenza di raggio unitario e centro l'origine degli assi nel piano della variabile z.

Ci sono molte analogie con il legame tra risposta in frequenza e FdT per i sistemi dinamici lineari a tempo continuo.

E' possibile estendere il risultato ottenuto applicando un ingresso sinusoidale puro ad un sistema lineare a tempo discreto ai casi in cui l'ingresso sia sviluppabile in serie di Fourier, oppure sia dotato di trasformata di Fourier, con considerazioni analoghe a quelle fatte nei casi simili per sistemi a tempo continuo.

Per i dettagli si rimanda al testo di Bolzern, Scattolini, Schiavoni.

Diagrammi di Bode e polari della risposta in frequenza

Il **tracciamento** dei **diagrammi di Bode** e polari della risposta in frequenza di un sistema lineare a tempo discreto **è difficoltoso**.

Sarebbe necessario valutare il numero $\mathrm{com}G(e^{j\theta})$ per un numero sufficientemente elev θ to di valori di

Solitamente il tracciamento dei diagrammi della risposta in frequenza si riduce all'individuazione di pochi punti, fornendo informazioni puramente qualitative. **Non approfondiremo** alcuna tecnica di tracciamento manuale dei diagrammi della risposta in frequenza di sistemi dinamici lineari a tempo discreto.

Qualora sia necessario analizzare in dettaglio la risposta in frequenza si ricorrerà a programmi di calcolo su elaboratore elettronico.